



# RAPPORTSERIE

Nr. 7 - Oslo 1982

ANDERS SOLHEIM og ANDERS ELVERHØI:

Marin-geologiske og -geofysiske undersøkelser 1981. Toktrapport og foreløpige resultater.

**NORSK  
POLARINSTITUTT**

Nr. 7 - Oslo 1982

ANDERS SOLHEIM og ANDERS ELVERHØI:

Marin-geologiske og -geofysiske undersøkelser 1981. Toktrapport og foreløpige resultater.

## INNHOLD

	<u>side</u>
1. VITENSKAPELIG PROGRAM/ARBEIDSOPPGAVER .....	1
2. DELTAKERE .....	4
3. FARTØY .....	4
4. NAVIGASJON .....	5
5. VÆR- OG ISFORHOLD .....	6
6. GEOLOGISK PRØVETAKING .....	6
6.1 Kjerneprøver .....	6
6.2 Grabbprøver .....	7
6.3 Skrapetrekk .....	7
7. GEOFYSISKE UNDERSØKELSER .....	7
7.1 Ekkolodd .....	7
7.2 Penetrasjonsekkolodd .....	7
8. SEDIMENTTRANSPORT .....	8
8.1 Lysspredningsmålinger .....	8
8.2 Vannprøver .....	8
9. FORELØPIGE RESULTATER .....	9
9.1 Sedimentfordeling i fjorder på Svalbard .....	9
9.1.1 Kongsfjorden .....	9
9.1.2 Isfjorden, Smeerenburgfjorden, Raudfjorden, Liefdefjorden og Van Mijenfjorden .....	14
9.1.3 Hinlopenstretet .....	18
9.2 Sedimentfordeling i nordlige Barentshav .....	20
9.3     --"--     vest og nordvest for Svalbard .....	23
9.4 Suspendert materiale i Framstredet .....	24
9.5     "         i nordlige Barentshav .....	29
10. REKOGNOSERENDE UNDERSØKELSER UTENFOR BRÅSVELLBREEN .....	30
11. ANDRE OBSERVASJONER .....	35
11.1 Nedre grense for ispløyning .....	35
11.2 Sjøis som transportmekanisme for sediment .....	35

## 1. VITENSKAPELIG PROGRAM/ARBEIDSOPPGAVER

Formålet med undersøkelsene var innsamling av data for studier av:

- 1) Fordeling og sammensetning av bunn sedimentene i fjordene på Svalbard
- 2) Sedimentfordeling i det nordlige Barentshav
- 3) Sammensetning og transport av suspendert materiale i a) Framstredet og b) nordlige Barentshav, spesielt utenfor Nordaustlandet
- 4) Konsolidering av marine leirer under en større bre, Bråsvellbreen, Nordaustlandet

I tillegg omfattet undersøkelsene observasjoner av A) nedre grense for pløyning av dagens isfjell og B) sjøis som transportmekanisme for sediment.

Undersøkelsene ble utført under to tokter, ett i Framstredet i perioden 28/7-14/8 (Fig. 1) og ett i det nordlige Barentshav i tidsrommet 18/8-2/9. (Fig. 2). Toktet i Framstredet omfattet måling av havvannets salinitet og temperatur (CTD-målinger), strømmålinger og studier av bølgers nedbrytende effekt på havisen. Programmet på tokt II omfattet også CTD-målinger, opphenting og utsettelse av strømbøyer samt biologiske registreringer. På utvalgte stasjoner ble det videre tatt planktonprøver

Det vises forøvrig til egen rapport for de respektive tokter.  
Oversikt over prøvestasjoner tokt II, vedlegg 1.

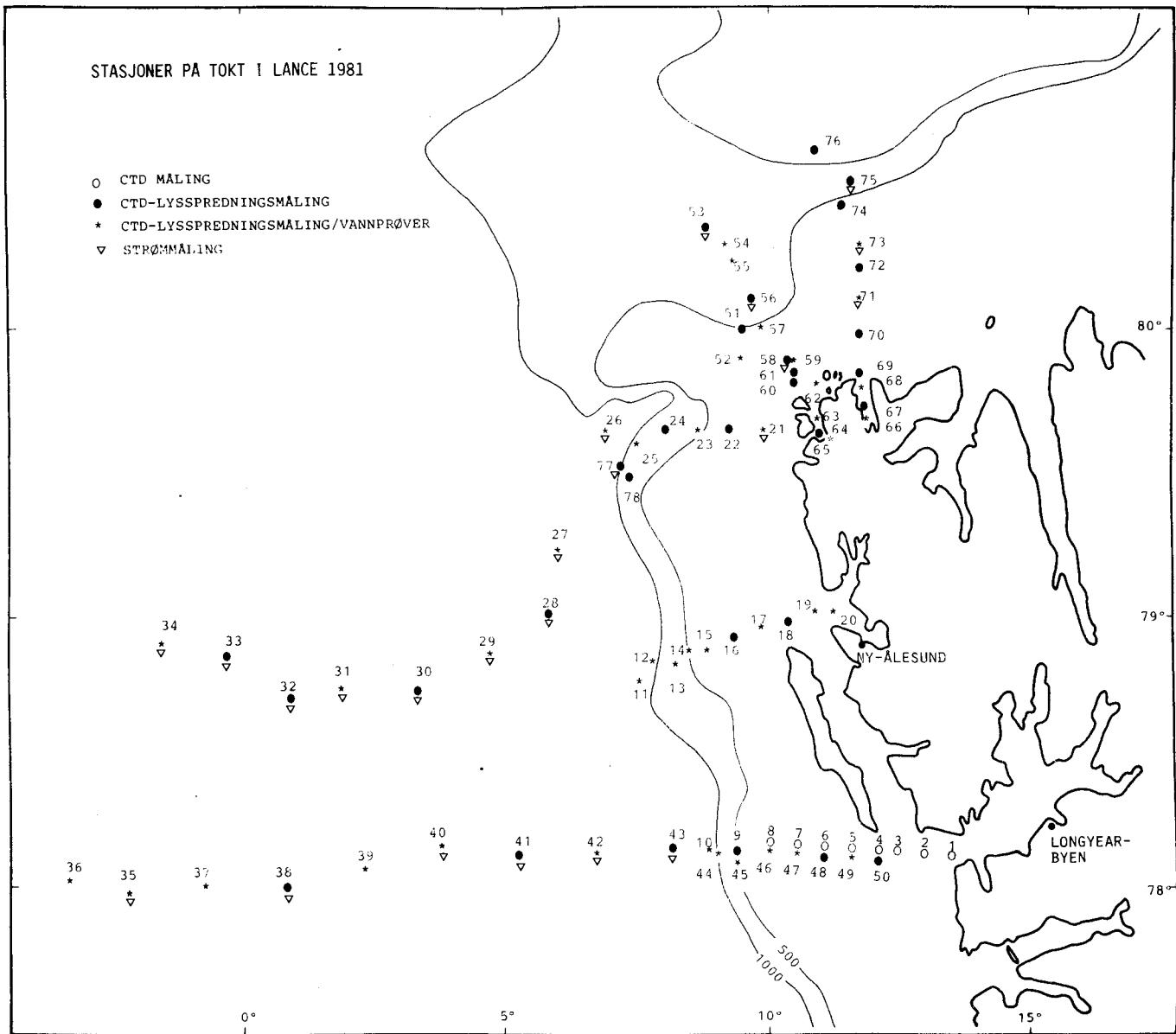


Fig. 1 : Tokt I, prøvestasjoner

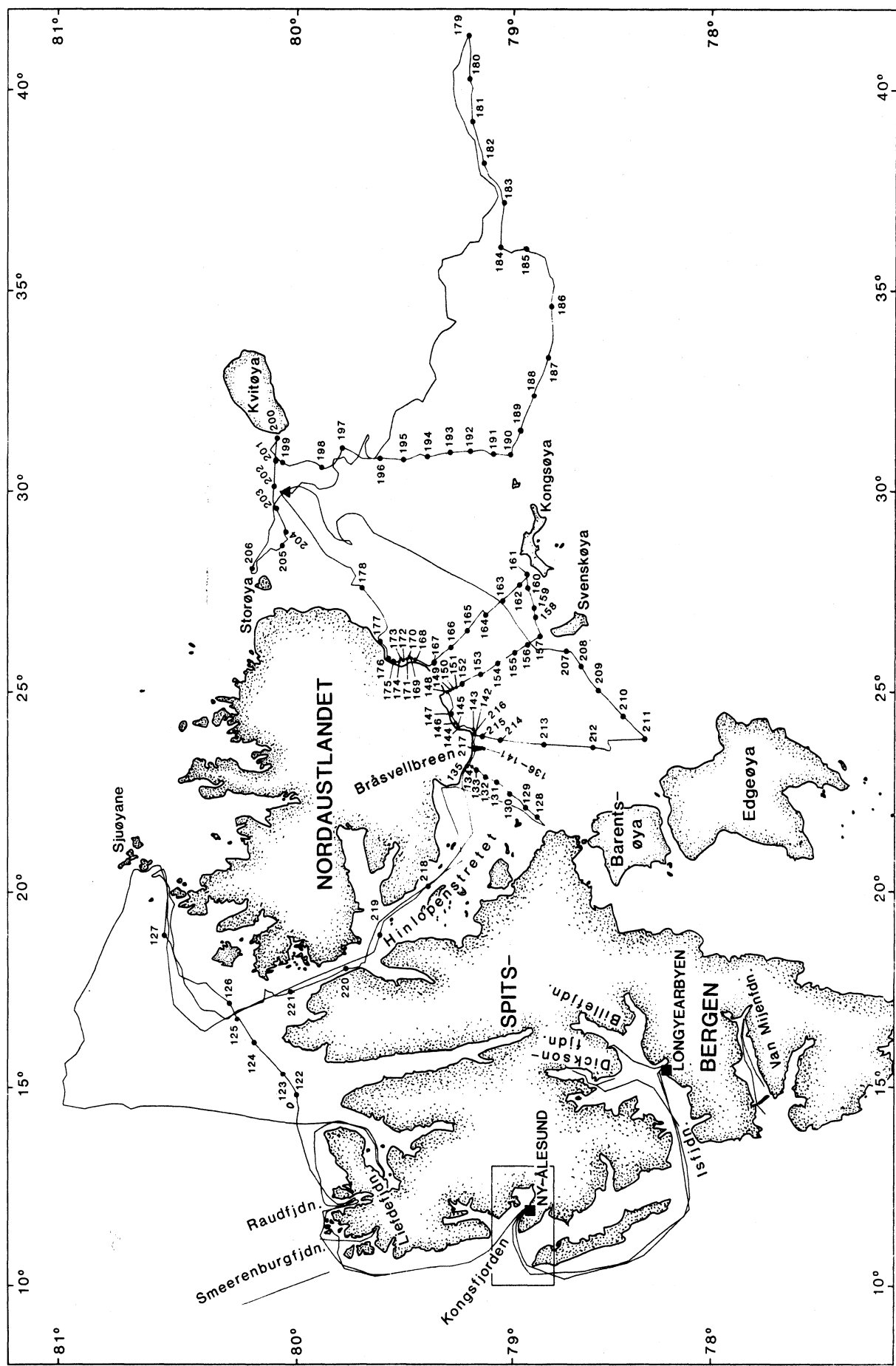


Fig. 2 : Tokt III, tokttrute og prøvestasjoner

## 2. DELTAKERE

Det marin geologiske/geofysiske programmet ble gjennomført av følgende deltakere:

Anders Elverhøi	geolog	Norsk Polarinstitutt
Anders Solheim	"	--"---
Stephanie Pfirman	"	Woods Hole Oceanographic Institute
Carl F. Forsberg	Assistent	Univ. i Oslo
Øyvind Lønne	"	Univ. i Bergen
Gunnar Kullenberg	Professor	Institutt for fysisk oceanografi, Univ. i København
Henning Hundal	Tekniker	--"---

Thor Siggerud, Norsk Polarinstitutt, var ekspedisjonsleder ved begge tokt.

## 3. FARTØY

Ekspedisjonsfartøyet M/S LANCE eies av staten ved Norges Sjøkartverk, med disposisjonsrett for Norsk Polarinstitutt to mnd. pr. år. Fartøyet, som er 200 fot og gikk sin første sesong som ekspedisjonsfartøy, fungerte utmerket. En del mindre feil og mangler er påpekt og vil bli rettet opp.

M/S LANCE er en praktisk og god arbeidsplatform for den type undersøkelser som her er gjort. Bekvemmeligheten ombord er god, og høyeste isklasse gjør fartøyet velegnet til undersøkelser i det nordligste Barentshav. Samarbeidet med skipets mannskap var meget godt og bidrog i høy grad til å effektivisere arbeidet.

#### 4. NAVIGASJON

Fartøyet er utstyrt med to satellitt-baserte navigasjons-systemer, Databridge DB 4 og Magnavox MX 1105. Navigasjonen presentert i denne rapporten er basert på Magnavox. Denne mottakeren kan benyttes til to separate navigasjons-systemer. System 1 (NAV1): For beregning av posisjon mellom satellitt fix (dead-reckoning) nyttet fartøyets fart og kurs, gitt automatisk fra log og gyro, sammen med en automatisk beregnet korreksjon. System 2 (NAV", integrert mode) nytter Omega-systemet til å beregne driftkorreksjonen som benyttes i dead-reckoninga mellom satellittfixene.

Systemet skiller ut de satellittfixene som er gode nok til automatisk oppdatering. Kvalitetsvurderingen gjøres på grunnlag av elevasjonsvinkelen, antall dopplersignaler, antall iterasjoner for å finne skipets posisjon og distansen fra dead-reckoned posisjon til fixposisjonen.

Navigasjonen ble automatisk logget på en printer. Gjennomsnittlig ble det mottatt ca. 2 tilfredsstillende satellitt-fix pr. time. I tillegg ble dead-reckon posisjonen logget hvert kvarter, samt ved alle større endringer i fart og kurs, dessuten ved alle prøvestasjoner. Den automatisk loggede navigasjonen ble også manuelt ført i en protokoll, klar for maskinell bearbeiding umiddelbart etter hjemkomst. Under stø kurs og fart, anslås nøyaktigheten til å være innenfor 0,5 n.mil. Ved gang i tung is, med hyppige kurs- og fartsendringer, vil nøyaktigheten avta noe. (Posisjonsliste er gitt i vedlegg 2.)

## 5. VÆR- OG ISFORHOLD

### Tokt I

Iskanten lå relativt langt øst i Grønlandshavet, og det var ikke mulig å få prøver fra Øst-Grønlandsstrømmen. Inn-satsen ble konsentrert i snitt ut fra Svalbard, inkludert enkelte fjorder på vestkysten.

### Tokt II

Værforholdene var gunstige under toktet. Rolig sjø og klart vær var fremherskende. Isforholdene skapte små/ingen vanskeligheter for det geologiske/geofysiske programmet. Isfronten øst for Svalbard lå imidlertid uvanlig langt mot syd. Dette kan sees av toktruten (Fig. 2). Linjen lengst østover ble gått for å hente en strømbøye mellom Victoriaøy og Frans Josef Land. Linjen følger iskanten. P.g.a. isforholdene lyktes det ikke å komme til bøyestasjonen.

## 6. GEOLOGISK PRØVETAKING

### 6.1 Kjerneprøver

Gravitasjonsprøvetaker med 3m langt, 110mm diameter rør ble benyttet med blyvekt på ca. 800kg. Utstyret var utlånt fra Oljedirektoratet. Det ble tatt kjerneprøver fra ialt 30 stasjoner, og fra de fleste stasjoner ble det tatt to paralleller. Det meste av prøvetakingsprogrammet foregikk i to begrensede områder: Kongsfjorden og utenfor Bråsvellbreen, Nordaustlandet. I Kongsfjorden foregikk prøvetakingen hovedsakelig i normalkonsolidert materiale, og det ble oppnådd god penetrasjon (>1,5m) på de fleste stasjonene. For å få prøver fra overkonsolidert materiale utenfor Bråsvellbreen ble

det forsøkt fritt fall fra 10-15 m over bunnen. Dette ga prøver i noen tilfeller, men prøvetakeren hadde lett for å komme skjevt ned og legge seg over. Materialet er her steinrikt, og sjansen for å treffe størrestein med prøvetakeren er stor. En fullstendig stasjonsliste er gitt i vedlegg 1.

### 6.2 Grabb-prøver

En Thaulegrabb, volum  $0,8\text{m}^3$  ble benyttet på én stasjon utenfor Bråsvellbreen for, om mulig, å få opp prøver av overkonsolidert materiale. I de få forsøkene tiden tillot, ble grabben kun fylt med ukonsolidert materiale. Et problem var også at størrestein kunne hindre grabben i å lukkes skikkelig, slik at den tømtes på vei opp fra bunnen.

### 6.3 Skrapetrekk

En tonneskrape ble også benyttet ved én stasjon utenfor Bråsvellbreen. Skrapen bragte opp blokker av relativt fast materiale.

## 7. GEOFYSISKE UNDERSØKELSER

### 7.1 Ekkolodd

SIMRAD 38 kHz ekkolodd med analog skiver som benyttet elektrosensitivt papir var i kontinuerlig drift. Utskrift av batymetri, vedlegg 3.

### 7.2 Penetrasjonsekko

ORE, model 134 penetrasjonsekko (Precision Depth Recorder; PDR) med EPC 3200 analog skiver ble også benyttet kontinuerlig. Transduceren (ORE, model 137 DE) er fast montert

på skipets skrog og kan arbeide i frekvensområdet 2-12 kHz. Det ble funnet at 3,7 kHz ga gjennomgående best resultat, og denne frekvensen ble brukt under begge toktene.

Penetrasjonsekkoloddet ga gode resultater, med maksimal penetrasjon på 70-80m og oppløsning på ca. 1m. Under tokt II ble det foretatt penetrasjonsekkoloddregistreringer langs ca. 1800 nautiske mil. Fra tokt I er kun fjord-registreringene tatt med i denne rapporten.

## 8. SEDIMENTTRANSPORT

### 8.1 Lysspredningsmålinger

Ved undersøkelsene i Framstredet ble det benyttet en in situ integrerende lysspredningsmåler utviklet ved Institutt for fysisk Oseanografi, Univ. i København. Det ble foretatt målinger ned til 1000 meters dyp. På tokt II ble lysspredningen i vannmassene målt ved hjelp av et kombinert transmissometer/lysspredningsmåler (av merke Benthos) (lysspredningen gir et mål for partikkellinnholdet i vannmassene).

### 8.2 Vannprøver

2.5 l Niskinflasker (12 stk.) montert i en rosett med automatisk utløsning ble benyttet. Dette utstyret var utlånt fra Oseanografiska Institutionen, Göteborg. I tillegg ble vannprøver tatt fra dyp større enn 2000 meter med 5 liters Niskinflasker utløst med slipplokk. På tokt II ble vannprøver kun tatt med 2,5 liters vannhentere. Vannprøver ble tatt i karakteristiske dyp, basert på CTD og lysspredningsmålingene.

Både på tokt I og II ble vannprøvene filtrert ved hjelp av vakum på Millipore filtre, 0,4 µm poreåpning. Innledningsvis ble det forsøkt anvendt Ducalepore filtre. Imidlertid ble denne filtertypen raskt tettet igjen og gjennomstrømningshastigheten ble for langsom til at de kunne benyttes.

## 9. FORELØPIGE RESULTATER

### 9.1 Sedimentfordeling i fjorder på Svalbard

#### 9.1.2 Kongsfjorden

I dette området er det tidligere utført sedimentologiske undersøkelser og lett-seismiske registreringer (Boomer). Programmet i år omfattet prøvetaking av bunnsedimentene med gravitasjonsprøvetaker og penetrasjonsekkoloddregistreringer (Fig. 3). Formålet med undersøkelsene er bl.a. å klarlegge den årlige sedimentasjon utfor Kongsvegen.

I løpet av de siste 100 år har Kongsvegen hatt flere markante framrykk (surge) (5-15 km) for så hver gang å trekke seg gradvis tilbake. Imidlertid rykker brefronten fram noe i løpet av vinteren, 50-100 m, mens den i løpet av sommeren trekker seg 100-200 m tilbake. Posisjoner for brefronten ved de respektive breframstøt er vist i Fig. 4. Som vist i Fig. 5 er det et markert skille i relief ved 1948-morena; utenfor jevn, flat bunn mens innenfor mindre rygger. Tidligere lett-seismiske registreringer har vist at ryggene består av sediment. De antas å representere de mindre årlige ossillasjoner av brefronten.

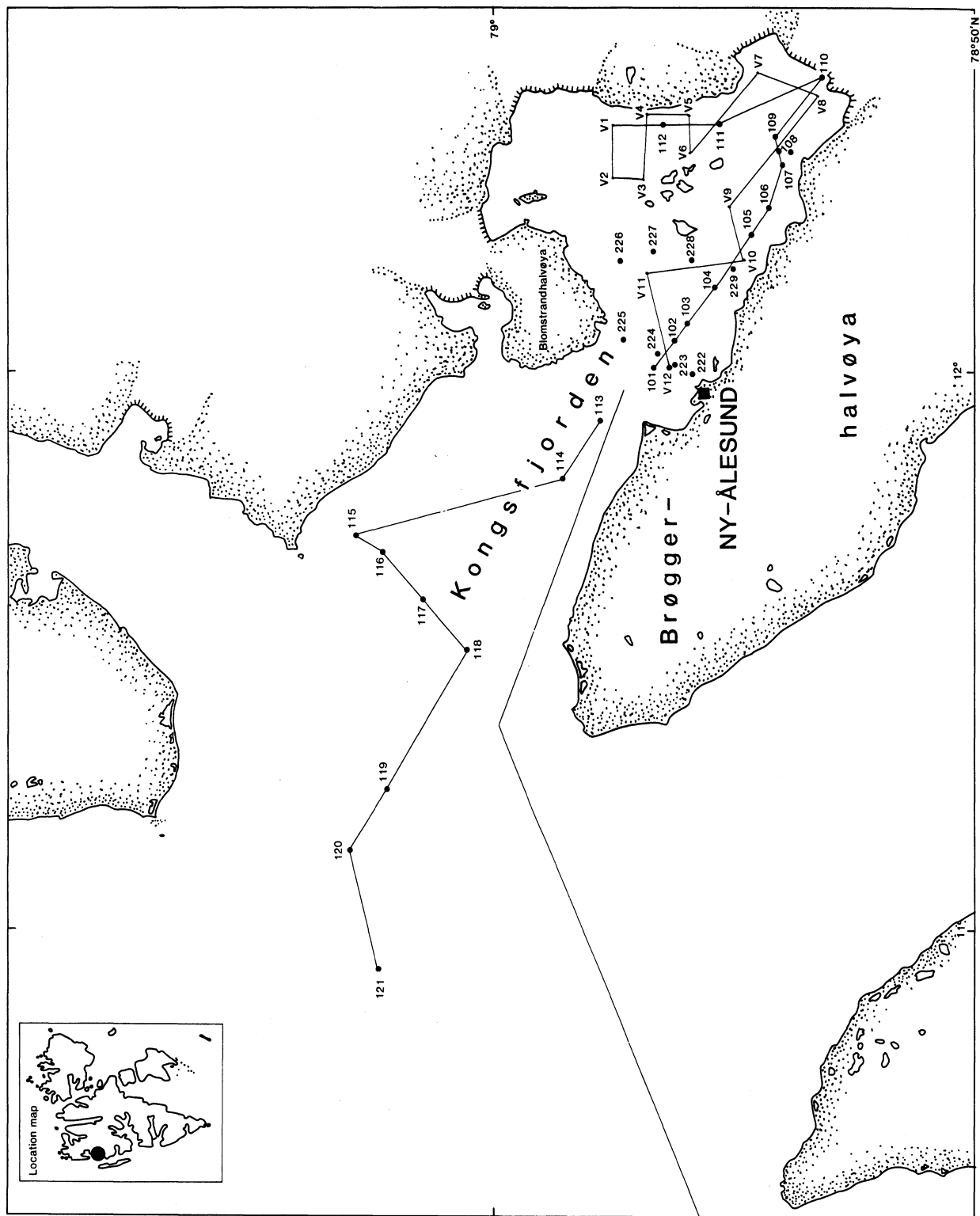


Fig. 3 : PDR-profiler og prøvestasjoner i Kongsfjorden

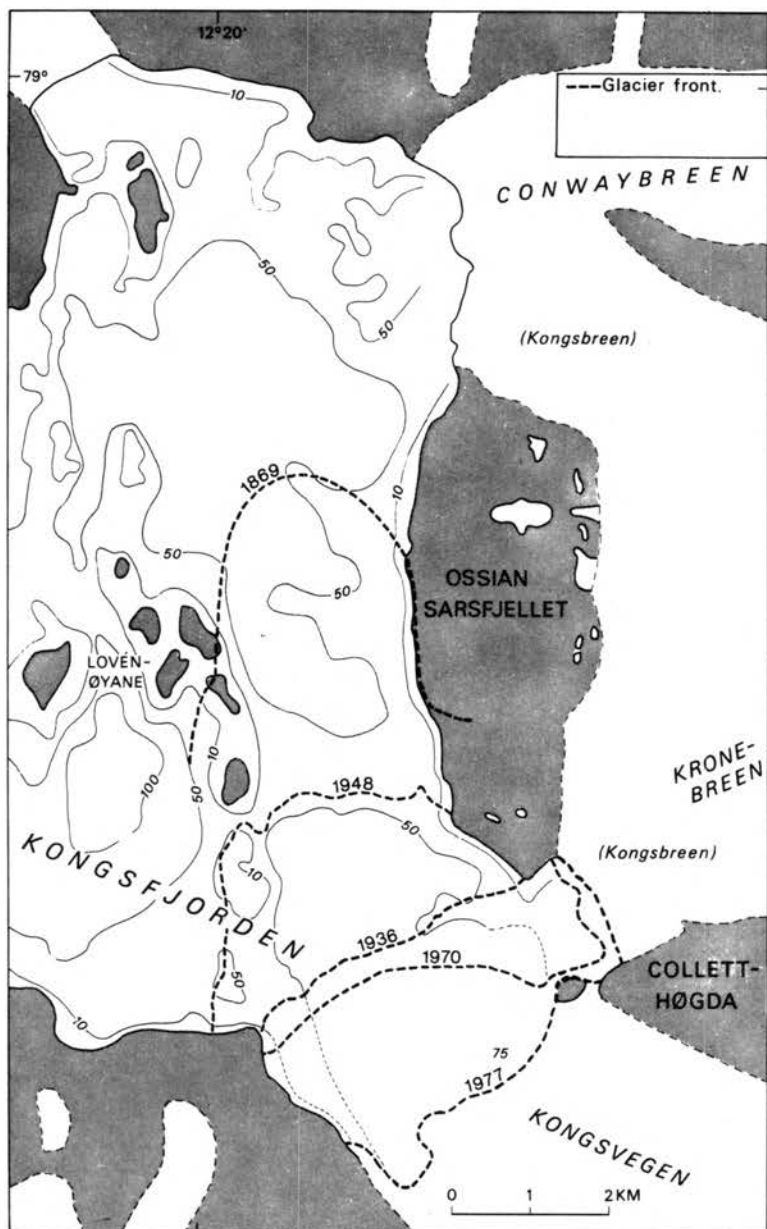


Fig. 4 : Kongsvagen, brefrontens posisjoner etter større framrykk ( surge ) de siste 100 år.

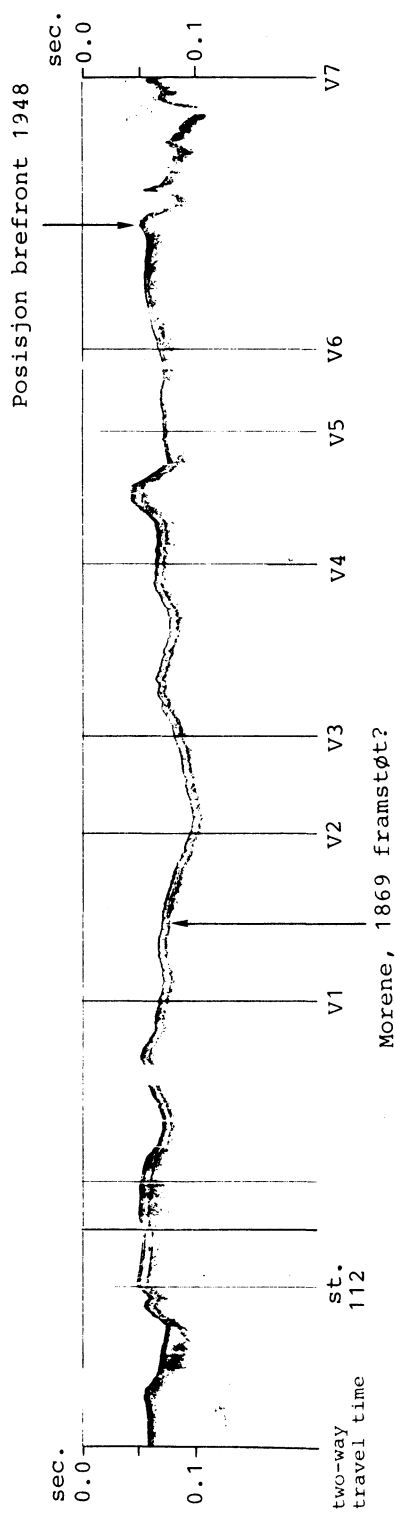


Fig. 5 : PDR-registrering Kongsfjorden. For lokalisering, se Fig. 3

I området utenfor 1948-morena er bunnrelieffet jevnt og bunnen dekkes av 5-10 meter bløte sedimenter (Fig. 5). En markert reflektor under de bløte avsetningene kan representer morene-materiale fra 1869 framstøtet. En mulig forklaring på den jevne bunnen i dette området kan være at etter 1869-framstøtet dannet de ytre deler av Kongsvegen en stagnerende bre som smeltet jevnt tilbake uten de årlige variasjoner som karakteriserer brefronten i dag.

Tidligere undersøkelser har for de indre deler av fjordbassenget vist en årlig sedimentasjonshastighet på ca. 10 cm/år, beregnet på grunnlag av organiske varv. Disse representerer trolig avsetningene i fjorden <sup>i løpet av</sup> ~~vårmånedene~~, da det er en kraftig oppblomstring av bl.a. diatomeer samtidig med et meget lavt innehold av klastisk materiale. I kjerne 109, fra et område som var dekket av Kongsvegen for inntil 20 år siden, ble morenemateriale påvist 1,35 m ned i kjernen. Dette tilsvarer en sedimentasjonshastighet på 7 cm/år, og resultatet bekrefter at de tidligere verdier er reelle. I kjerne 109 ble 12 organiske varv påvist i intervallet 0,60 m til 1,35 m. Avstanden mellom lagene varierte fra 3 til 12 cm. Som tidligere observert er de organiske lag ikke utviklet i de øvre 50 cm av sedimentene.

Innfor 1948-morena er bunnen akustisk opak. I følge den årlige sedimentasjonshastighet vil det i disse områdene være mindre enn 3 m bløte sedimenter over morenematerialet. I områdene utenfor 1948-morena er imidlertid 5-10 meter bløte sedimenter påvist. Mektigheten avtar inn mot 1948-morena.

Basert på gjennomsnittlig sedimentasjonshastighet under dagens forhold, 10 cm/år, vil en i tidsrommet etter 1869-framstøtet ha fått avsatt 10 meter materiale. Den observerte reflektor under de bløte sedimentene kan følgelig representerer 1869-framstøtet.

I sentrale og ytre deler av Kongsfjorden dekkes bunnen av 5-20 meter bløte sedimenter med størst mektighet i depresjonene. Sedimentene avsettes opprinnelig fra suspensjon og den observerte fordeling viser at det skjer en betydelig resedimentering. Tidligere sidesøkende sonar-undersøkelser har vist at dette i stor grad skjer som en jevn utglidning av sedimentene.

Kjerneprøvene fra de sentrale og ytre deler av Kongsfjorden er sterkt bioturbert og beregning av årlig sedimentasjon i disse områdene er ikke mulig.

Det er ikke utført geotekniske analyser på morenematerialet i kjerne 109. Materialet var klart overkonsolidert, men sammenlignet med morenemateriale fra Bråsvellbreen, var materialet fra Kongsfjorden noe bløtere. Bretykkelse og havdyp for de to områdene er ens, imidlertid var innholdet av finmateriale langt høyere i materialet fra Kongsfjorden enn i moreneavsetningene fra Bråsvellbreen. (Vedrørende Bråsvellbreen, se side 30.)

#### 9.1.3 Isfjorden, Smeerenburgfjorden, Raudfjorden, Liefdefjorden og Van Mijenfjorden

I disse fjordene ble kun penetrasjonsekkoloddregisteringer foretatt. Sedimentfordelingen er tilsvarende det som ble observert i ytre og sentrale deler av Kongsfjorden, 15-20 m

bløte sedimenter i dypere områder med avtakende mektighet mot grunnere områder (Fig. 6 og 7).

Van Mijenfjorden skiller seg fra de andre fjordene ved at denne fjorden har en meget markert terskel - Akseløya - i munningen. I tillegg rykket Paulabreen innerst i Van Mijenfjorden markert frem for 2-400 år siden. Van Mijenfjorden er videre meget jevn, og viser ingen tegn på sedimentering. De lett-seismiske registreringene er vist i Fig. 8 og 9. I de sentrale og ytre deler av fjorden dekkes bunnen av 15-25 meter bløte sedimenter, tilsvarende en gjennomsnittlig sedimentasjonshastighet på 0,2 cm/år. (Fjorden var dekket av is intil for 10.000 år siden.) I Fig. 8 er registreringer fra de indre fjordområder vist. Som det fremgår av denne figuren er det avsatt lite sediment i det indre fjordområdet etter at Paulabreen trakk seg tilbake. Imidlertid er det avsatt betydelige mengder sediment direkte ut fra land, som deltaavsetninger.

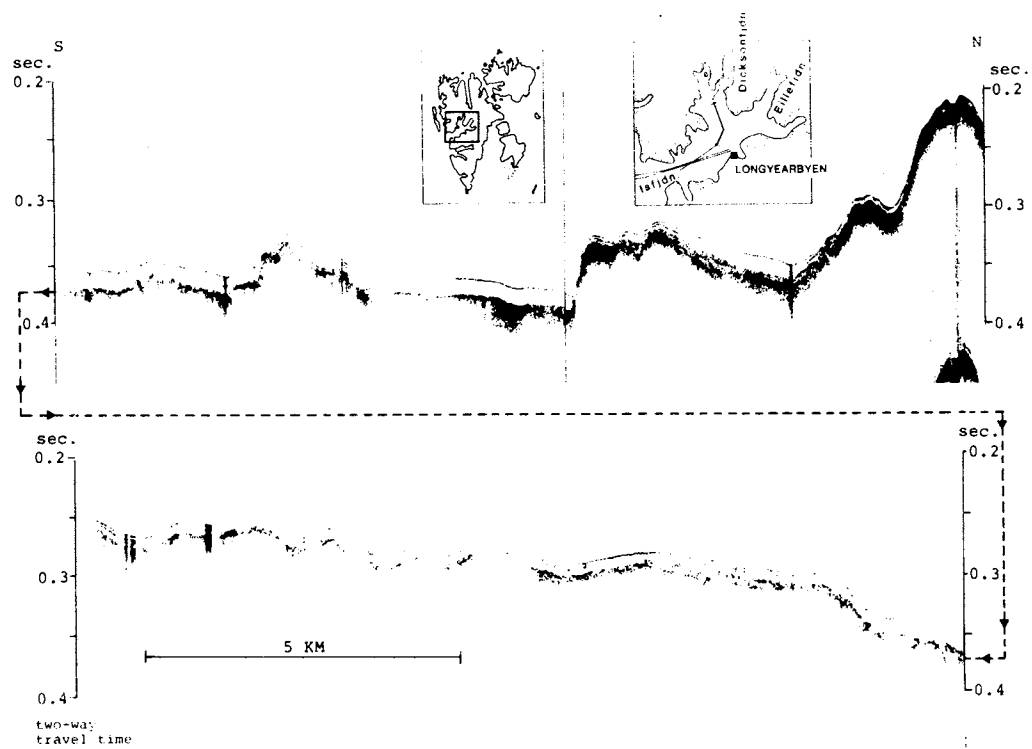


Fig. 6 : PDR-registrering, Isfjordområdet

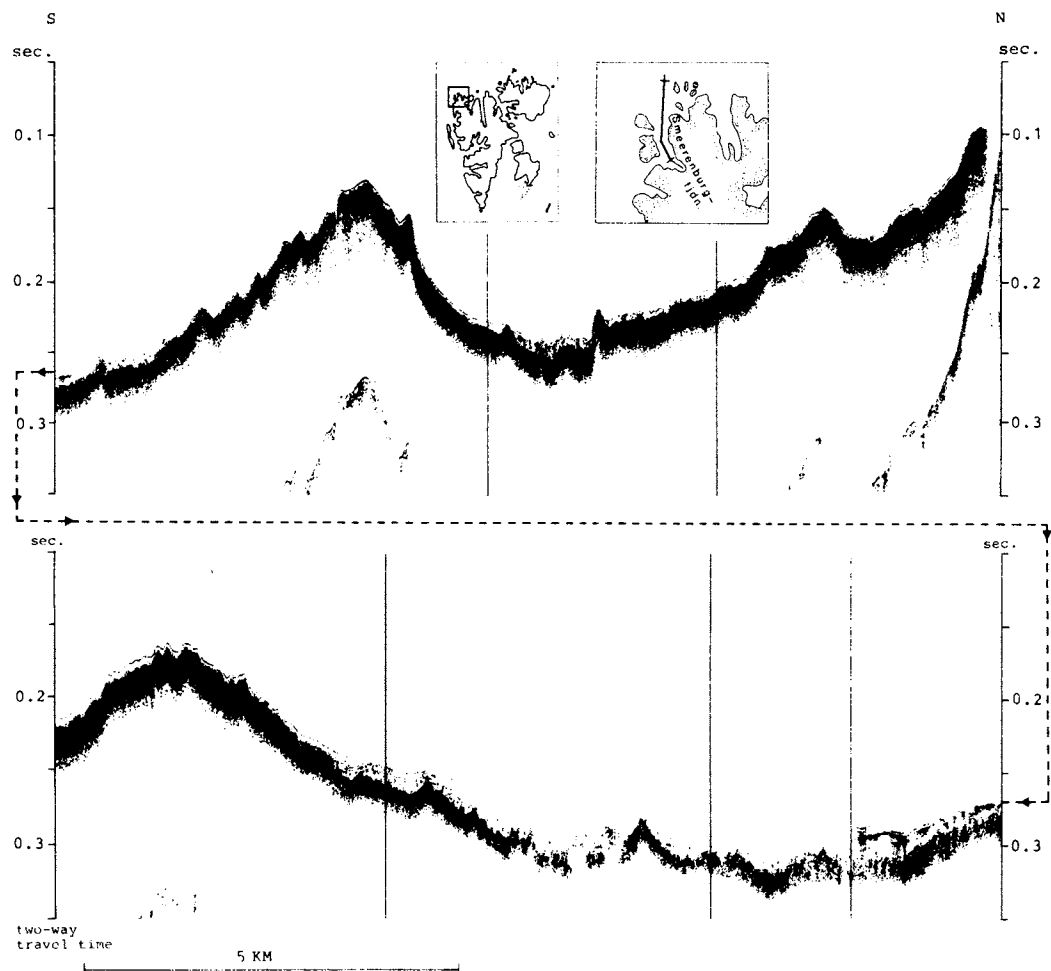


Fig. 7 : PDR-registrering, Smeerenburgfjorden

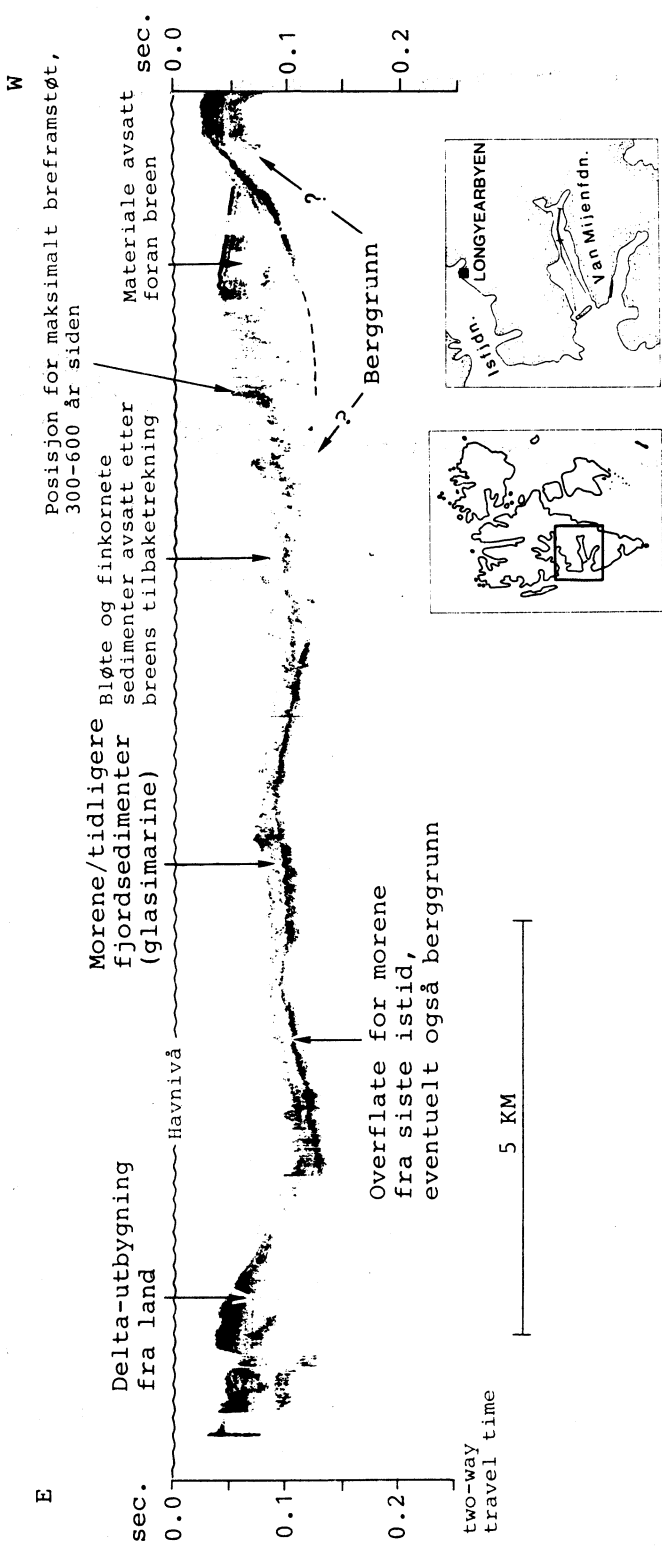


Fig. 8 : PDR-registrering, Van Mijenfjorden, indre del

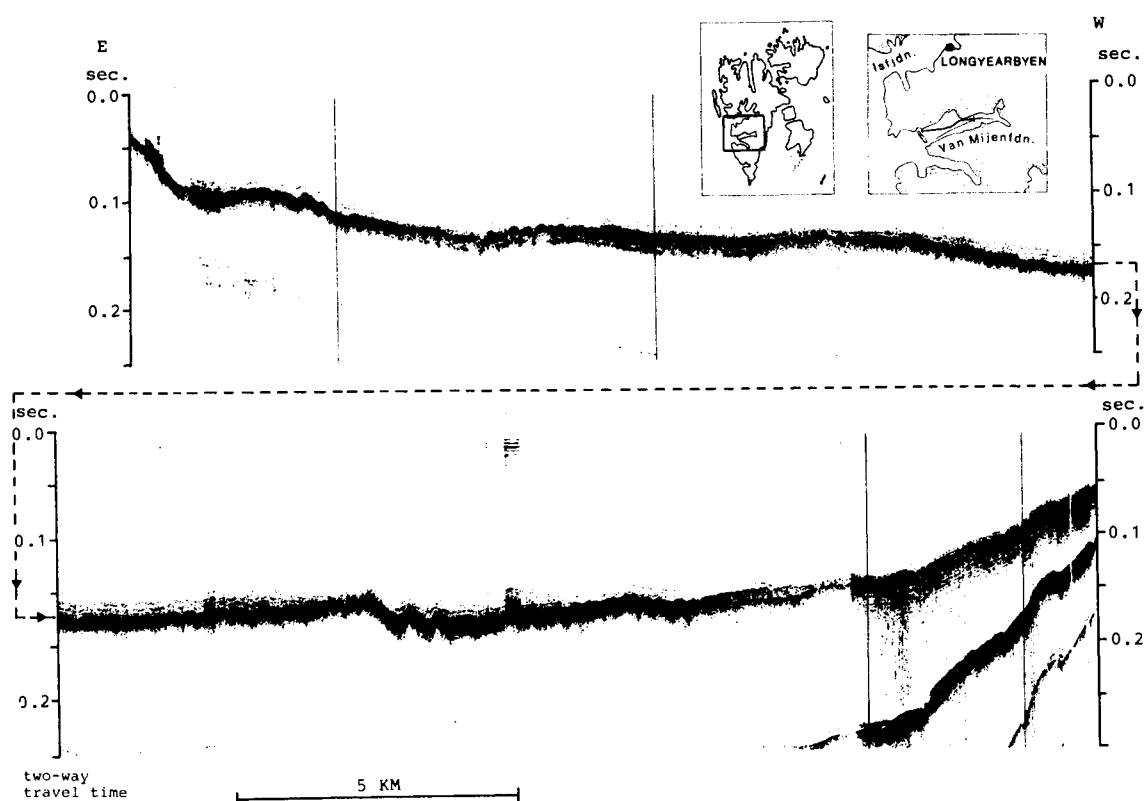


Fig. 9 : PDR-registrering, Van Mijenfjorden, ytre del.

#### 9.1.4 Hinlopenstretet

Registreringene fra Hinlopenstretet viser gjennomgående 5-10 m mektighet for de bløte overflatesedimentene. I områdene utfor Valhallfonna ble imidlertid betydelige mektigheter påvist (Fig. 10). Sedimentene er her lagdelte. Tilsvarende som for fjordene på vestkysten er disse sedimentene avsatt etter at inlandsisen trakk seg tilbake for vel 10.000 år siden. Deler av avsetningene i Hinlopen og også i fjordene på vestkysten er trolig materiale avsatt under siste isdekkes tilbaketrekning.

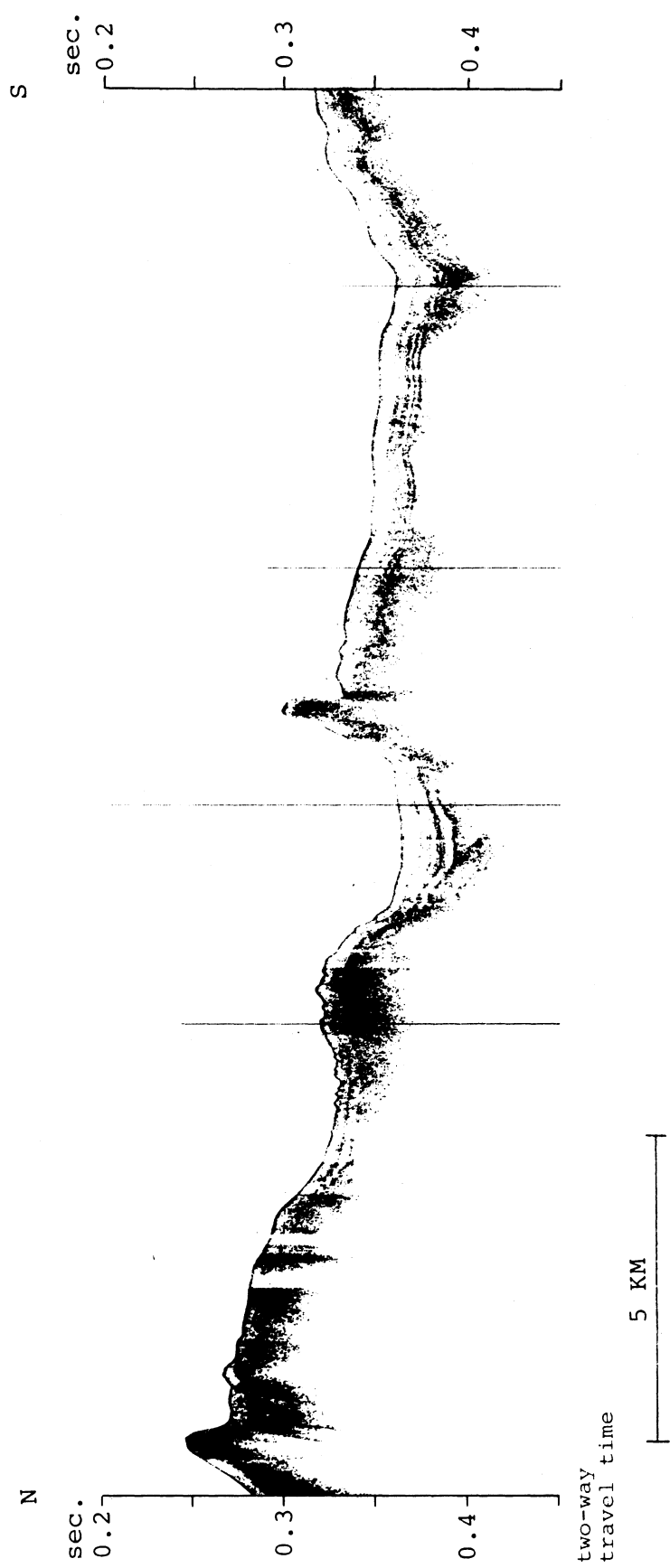


Fig. 10 : PDR-registrering Hillepensletten, s $\varnothing$  for stasjon 221 ( Se Fig. 2 )

## 9.2 Sedimentfordelingen i det nordlige Barentshav

Fra tidligere grunnseismiske undersøkelser vet en at deler av det nordlige Barentshav er dekket av et tynt sedimentlag (<10m). Lokalt forekommer mektigere akkumulasjoner, mens havbunnen i store områder hovedsaklig består av bart fjell.

Tidligere kjerneprøver viser at sedimentene består av tre enheter, A) en øvre, olivengrå, 0,1-1,5 m tykk, B) en indre blågrå og C) overkonsolidert morenemateriale. A og B har typiske glasimarine trekk, mud med droppestein. Fra foraminiferinnhold og C<sup>14</sup> dateringer av skallmateriale, tolkes den øverste enheten å representer Holocen, mens den blågrå enheten har sen-Weichsel alder og er avsatt i et mer bre-nært miljø.

PDR-registreringene fra 1981 bekrefter dette generelle inntrykket. Et snitt vest for Kong Karls Land (Fig. 11) er typisk. En ser et tynt, transparent lag, 2-5 m tykt over akustisk opakt materiale. Om dette er berggrunnen eller en fast morene, er imidlertid vanskelig å fastslå med sikkerhet. Enkelte steder kan imidlertid utkilende reflektorer skimtes. Dette, sammen med visse topografiske trekk tas som indikasjon på at det opake laget representerer berggrunnen i disse områdene. PDR-registreringene utdyper sparker-dataene ved at de spesielt gir bedre informasjon om de øvre lag. Følgelig viser det seg at mange områder som er blitt tolket å ha bart fjell i havbunnen fra sparker-data, i virkeligheten har et sedimentlag som kan være flere meter tykt.

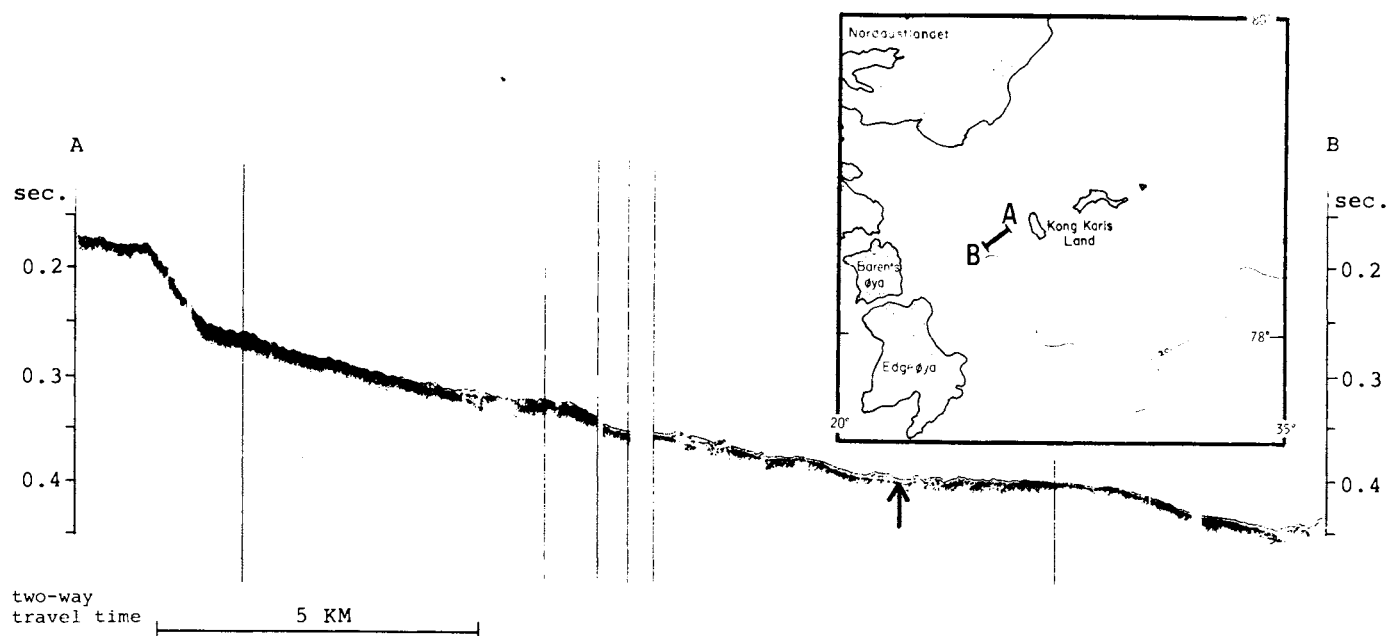


Fig. 11 : PDR-registrering vest for Kong Karls Land

I et dyp SØ for Kvitøya, ble det i 1980 oppdaget en mektig (~70 m) akkumulasjon av akustisk transparent sediment. Denne avsetningen ble krysset i to traverser i 1981, og PDR-registreringene (Fig. 12) viser at akkumulasjonen er dekket av et 1-2 m tykt lag av mer transparent materiale. Dette representerer trolig den olivengrå, Holocene enheten.

En setter store forventninger til å få mer data fra penetrasjonsekkoloddet i disse nordlige områdene under kommende sesongers tokt.

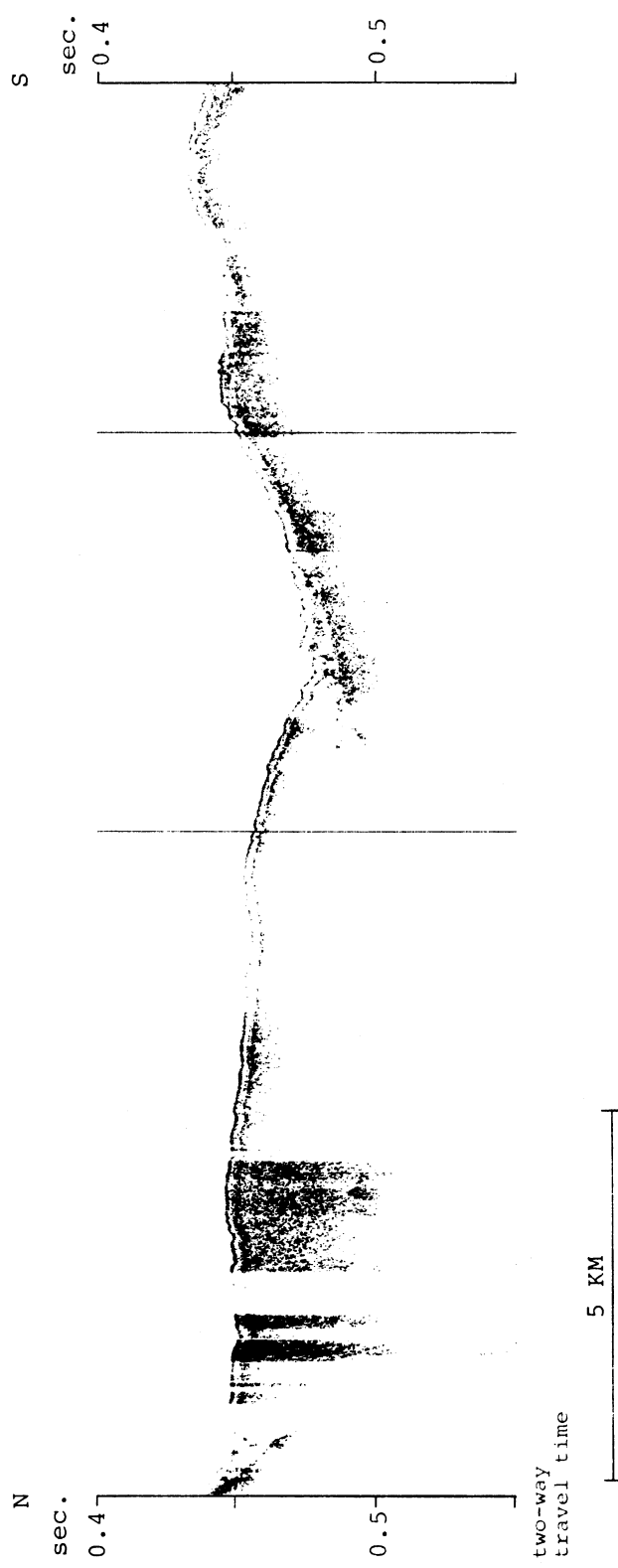


Fig. 12 : PDR-registrering over sediment-akkumulasjon sør av Kvitøya ( Ø av stasjon 195, Fig. 2)

### 9.3 Sedimentfordeling vest og nordvest for Svalbard

Under tokt I ble det også foretatt penetrasjonsekholodd-registreringer vest og nordvest for Svalbard. Stein- og grusrike avsetninger på havbunnen var trolig årsak til bunnens akustisk opake karakter inne på sokkelområdene. På øvre del av kontinentalskråningen ble bløte lagdelte avsetninger påvist (Fig. 13). Den underliggende reflektor i Fig. 13 kan representerer en gammel erosjonsflate eller en flate med høyt innhold av stein, (isdroppet materiale?)

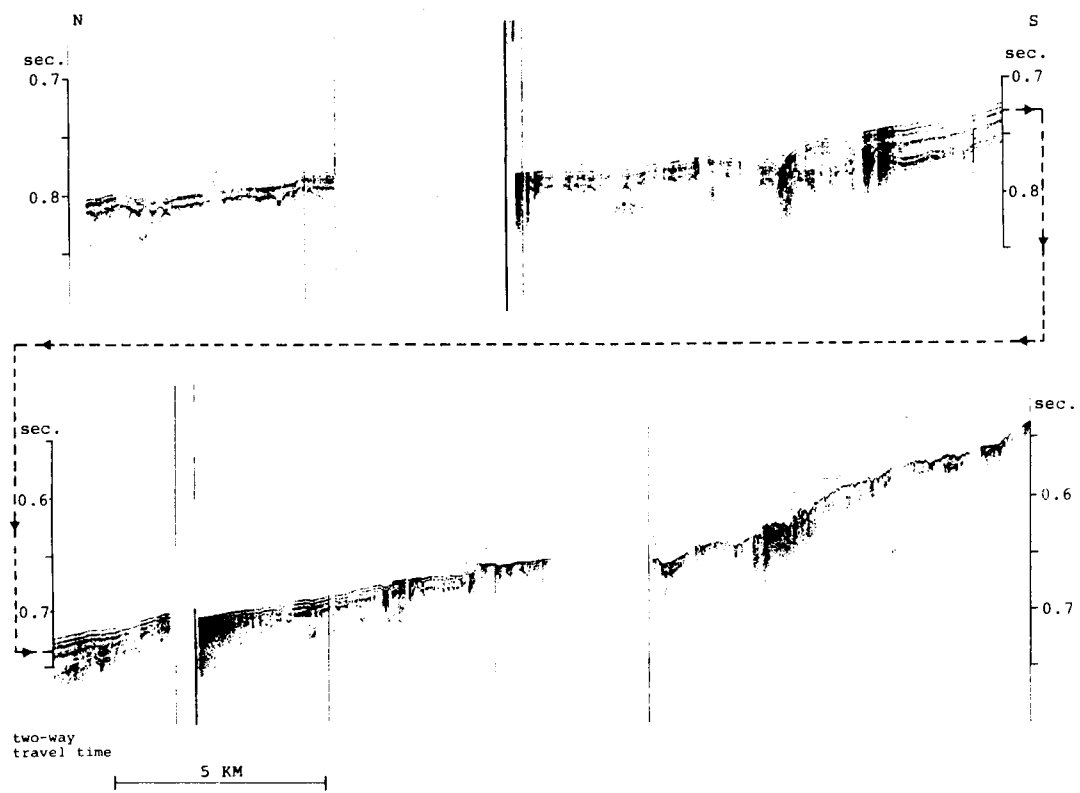


Fig. 13 : PDR-registrering NV av Spitsbergen. For lokalisering  
se Fig. 2

#### 9.4 Suspendert materiale i Framstredet

Prosjektets målsetting er studier av transport av suspendert materiale inn i Polhavet med Atlanterhavstrømmen og Sørkappstrømmen og ut med vannmassene øst for Grønland. Undersøkelsene er et ledd i oppbygningen av kunnskap om "det naturlige miljø"; for senere å kunne avgjøre om variasjoner skyldes naturlige forhold eller menneskelige inngrep. Gjennom disse undersøkelsene vil en også få informasjon om hvor effektivt Polhavet fungerer som en recipient. Undersøkelsene er også et ledd i erosjons/sedimentasjons-studiene på Svalbard og tilstøtende havområder.

Det ble i alt utført lysspredningsmålinger ved 63 stasjoner og vannprøver ble tatt ved 38 stasjoner (Fig. 1).

Vannmassene ut fra Spitsbergen kan skjematiske deles i tre grupper: 1) en kyststrøm, 2) Atlanterhavsvann, hovedsakelig som en veldefinert strøm langs eggakanten noe under overflaten og 3) kaldt polarvann i dyphavet (Fig. 14). Den generelle strømretningen er mot nord, imidlertid har det kalde polarvannet utenfor eggakanten en tidevannskomponent.

Suspendert materiale fra fire stasjoner i ett snitt ut fra Isfjorden er undersøkt (Fig. 15 a-e). Milliporefiltrene er hygroskopiske, og det har vært vanskelig å oppnå samme fuktighet for filtrene etter tilbakekomst som ved tareringen. De angitte vekter er derfor relative verdier, korrigert v.h.a. ubrukte filtere. Partikkelkonsentrasjonen er meget lav, 0.01 - 0.1 mg/l. Basert på lysmikroskopering er materialet

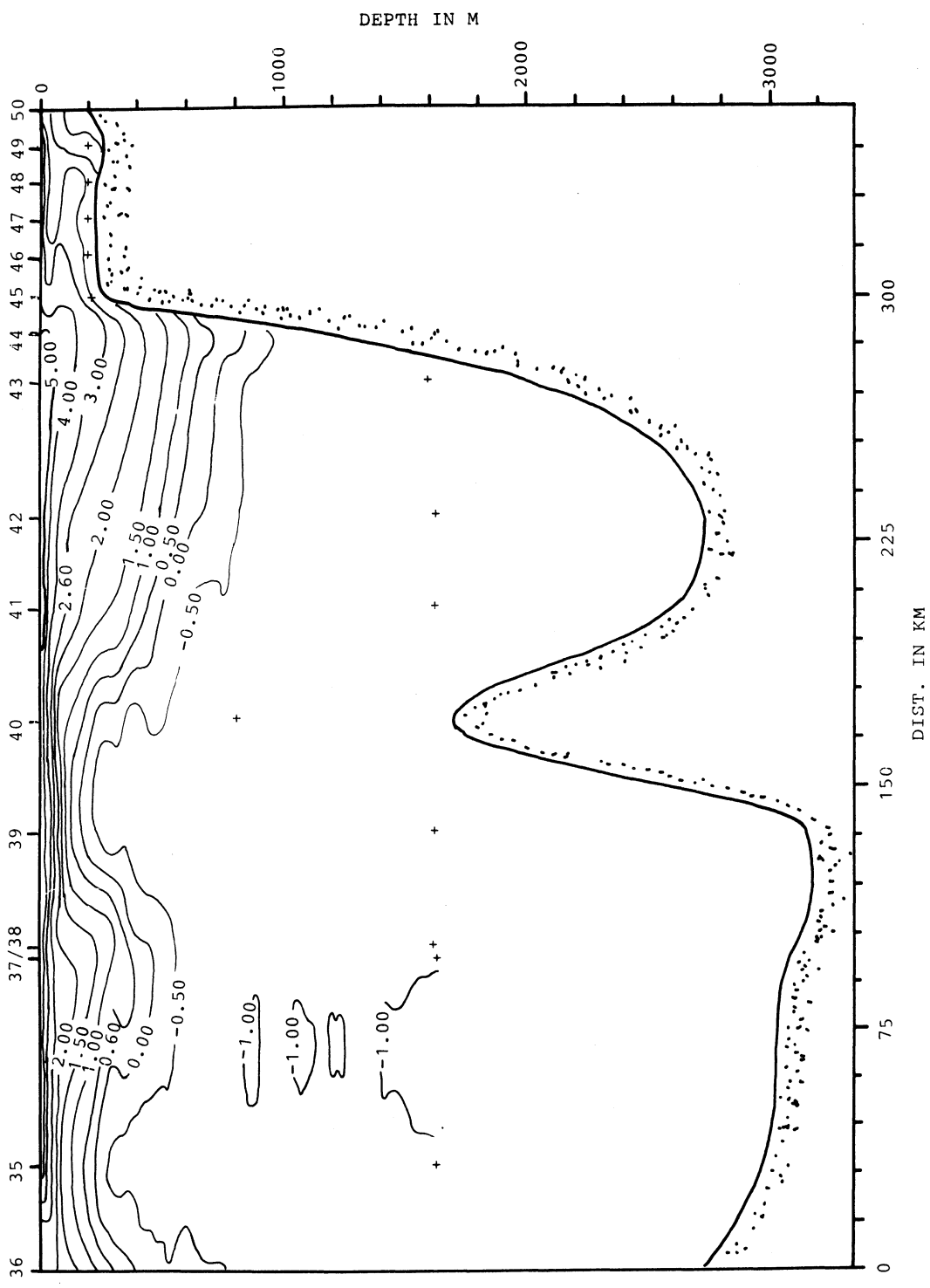


Fig. 14 : Temperatur - profil vest av Isfjorden. Atlantterhavsvann er karakterisert ved temperaturer i intervallet  $4 - 5^{\circ}$  C. For lokalisering, se Fig. 1

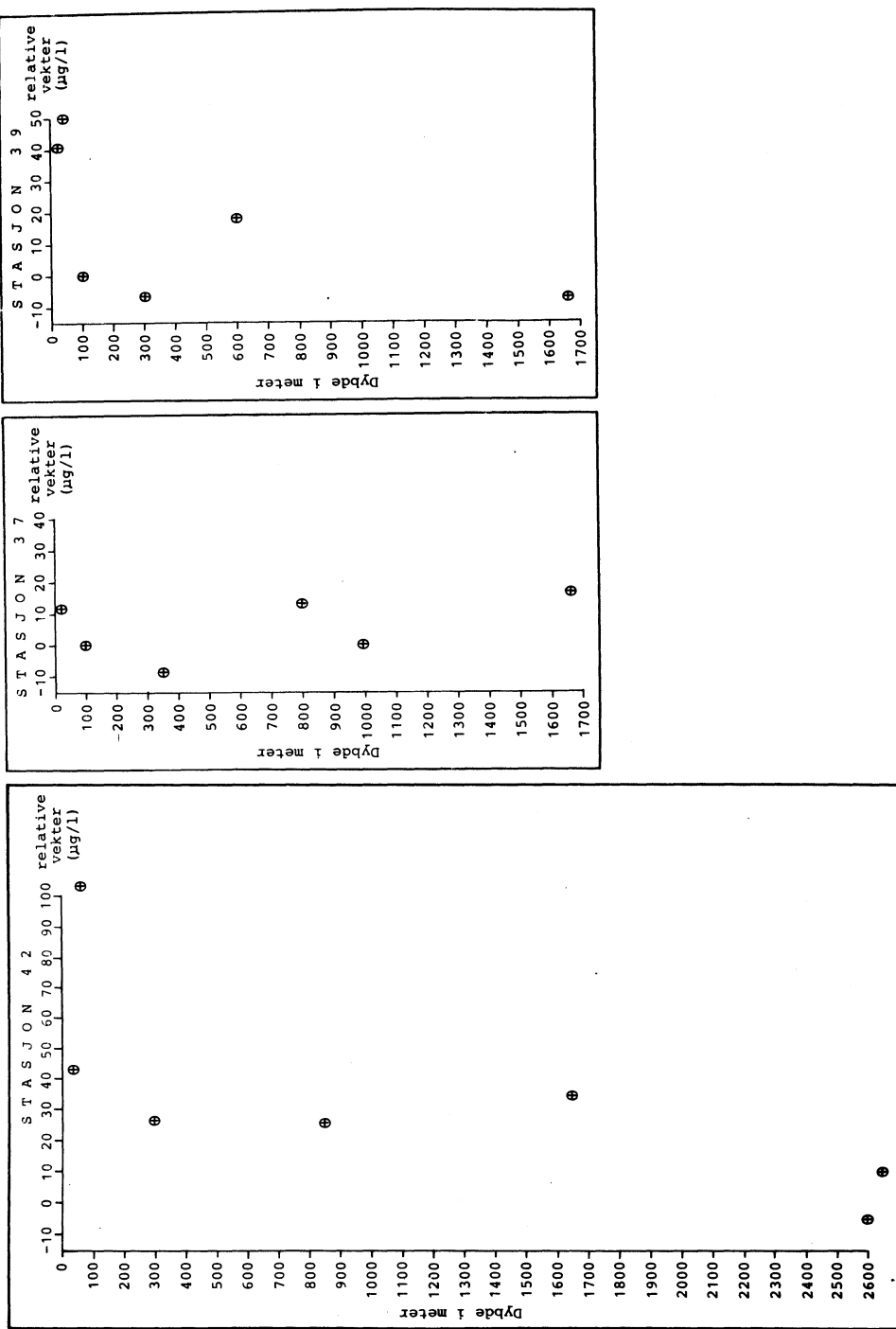


Fig. 15, a-c : Fordeling av suspendert materiale med  
vanndypet i stasjonene 42 (a), 37 (b).  
og 39 (c).

For lokalisering, se Fig. 1.

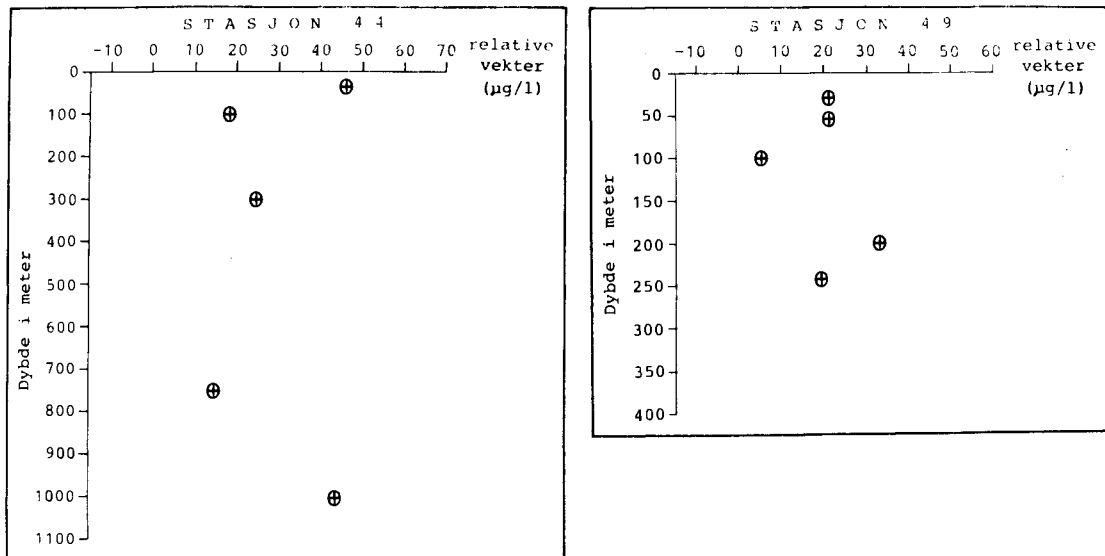


Fig. 15 d-e : Fordeling av suspendert materiale med dybet i stasjonene 44 (d) og 49 (e)  
For lokalisering, se Fig. 1.

i såvel Atlanterhavsvannet (st. 44) som det kalde polarvannet dominert av biogent materiale. Klastiske komponenter er bare i liten grad påvist. I prøver fra kyststrømmen (Fig. 15e) er imidlertid klastisk materiale den dominerende komponent. Lysspredningsmålingene bekrefter dette bildet (Fig. 16). Forøvrig er det ved disse målingene påvist partikelrike bunnlag på de øvre deler av kontinentalskråningen. Økning i spredningsverdier nær havoverflaten skyldes biologisk produksjon i den fotiske sone.

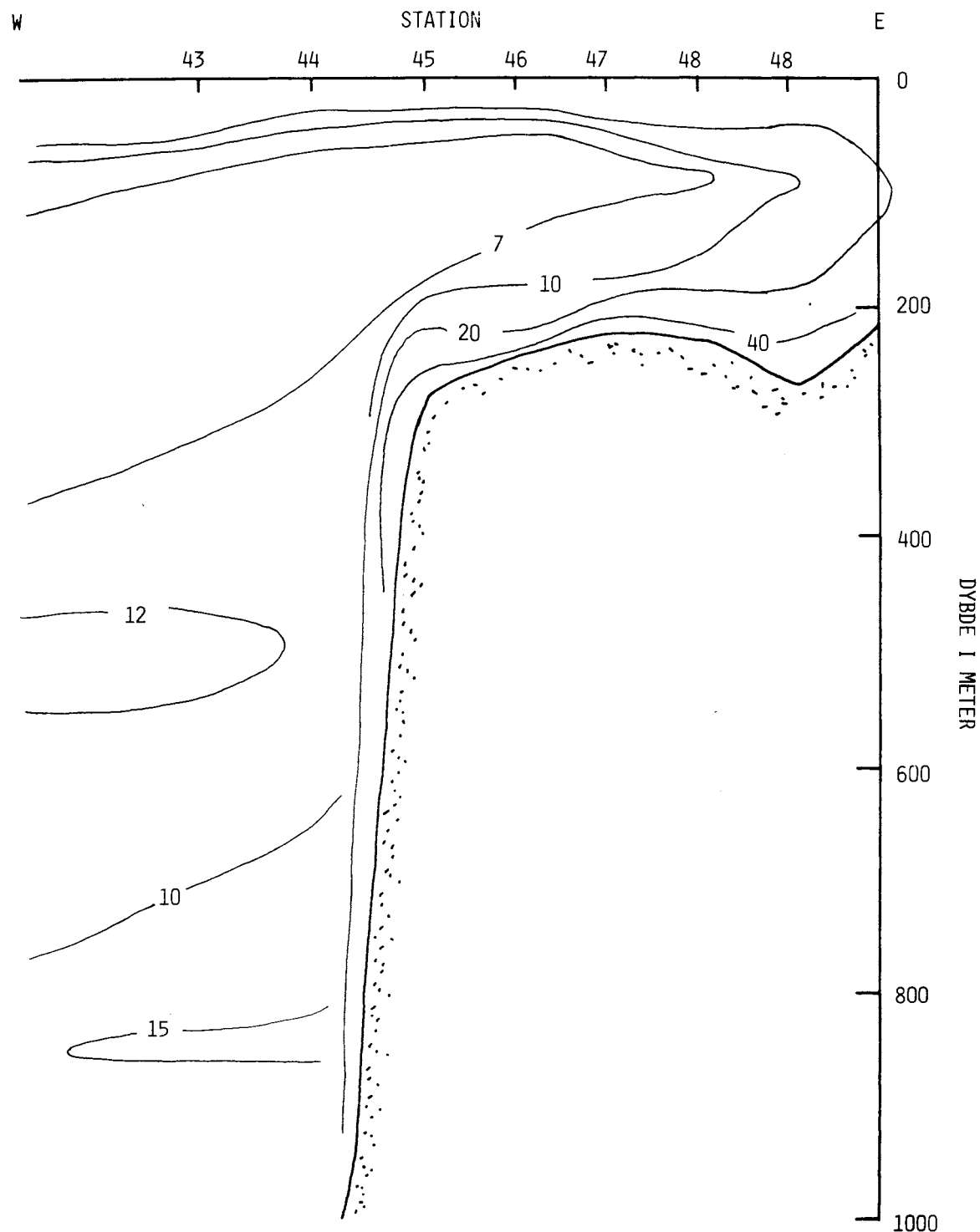


Fig. 16 : Lysspredningsmålinger i et profil vest av Isfjorden.  
For lokalisering se Fig. 1. ( Lysspredningen i  
relative verdier.)

### 9.5 Suspendert materiale i nordlige Barentshav

Hovedsiktemålene for disse undersøkelsene er 1) studier av pågående sedimentasjonsprosesser i området, 2) studier av materialtransport ut fra Nordaustlandet samt 3) å lokalisere områder for avsetning av dette materialet.

De foreløpige resultatene, eksemplifisert med et snitt mellom Nordaustlandet og Kong Karls Land viser at kaldt polar-vann stuves opp på sydsiden av stredet mellom de to øyene. Temperaturprofilene viser at vannmassene i øvrige deler av stredet er karakterisert av oppblandet kystvann, med temperatur ca.  $0,0^{\circ}$  C. Atlanterhavsvann kan spores i de dypeste deler av stredet, temperatur  $+ 1,3^{\circ}$  C.

Lysspredningsprofilene viser høye spredningsverdier nær overflaten utenfor Nordaustlandet. Materialkonsentrasjonen i disse områdene er ca. 4-5 mg/l. Materialet består av klastiske partikler tilført fra smeltevannsutløp. Partikkkelkonsentrasjonen avtar raskt utenfor Nordaustlandet, og i sentrale deler av stredet er partikkkelkonsentrasjonen gjennomsnittlig 0,2 mg/l.

I tilknytning til smeltevannsutløpene på 20-30 meters vanndyp er et relativt høyt innhold av diatomeer påvist. Slamrike bunnlag er videre påvist ved ca. 130 m dyp utfra Nordaustlandet. Dette kan være resuspendert materiale eller materiale transportert med bunnstrømmer.

## 10 REKOGNOSERENDE UNDERSØKELSER UTENFOR BRÅSVELLBREEN

I to korte perioder ble det foretatt geologisk prøvetaking og penetrasjonsekkelodd-profilering utenfor Bråsvellbreen på Nordaustlandet. Dette inngår som rekognoserede undersøkelsjer for prosjektet: "Konsolidering av glasiale og glasimarine sedimenter som følge av bre-overlagring; en lokalundersøkelse utenfor Bråsvellbreen, Nordaustlandet, Svalbard, med anvendelse på det vestlige Barentshav". Feltarbeidet for dette prosjektet vil fortsette sesongen 1982 og 1983.

Bråsvellbreen rykket raskt fram (surge) i 1938, og har siden trukket seg gradvis, opptil 3 km, tilbake. Breen er grunnstående på 60-90 m vanndyp, med en brefront på opptil 30 m.o.h. Foran dagens brefront er det således et område med sedimenter som nylig er omarbeidet og kompaktert av en større bre. Det samme materiale finnes i upåvirket tilstand utenfor breens maksimale utbredelse. Dette gir gode betingelser for 1) studier av de prosesser som påvirker et sediment under overlagring av en bre, 2) studier av de forandringer dette medfører i sedimentet samt 3) å utprøve forskjellige geofysiske metoder for kartlegging av mekaniske parametre. Forholdene utenfor Bråsvellbreen kan betraktes som en modell for hva som har skjedd på deler av norsk kontinentalsokkel under siste istid.

Fig. 17 viser arbeidet som er gjort utenfor Bråsvellbreen. 6 PDR-profiler krysser området. Linjen L1, Fig.18, illustrerer bunnforholdene. Maksimal utbredelse antydes av en asymmetrisk rygg ( høyeste punkt ca 1,8 n.mil fra dagens brefront ) med den bratte siden mot breen og den slake siden utover. Den slake siden består for en stor del av akustisk transparent sediment. Utenfor denne ryggen er bunnen jevn med et transparent øvre lag på 1-2 m tykkelse. Innenfor ryggen er bunnen "småruglete" og akustisk opak.

Stasjonene 136 og 137 (Fig. 18) viser grå, normalkonsolidert leire, med en del grus og stein, - droppsteinsfacies. Stasjonen 138 viser svært bløtt materiale, med høyt grusinnhold. Dette materialet er trolig spylt ut og avsatt med høy sedimentasjonshastighet i løpet av den perioden breen lå i sin maksimale posisjon. Under en surge opptrer stor smeltevannsmengder i bresålen. Prøvelengden for stasjonene 134-138 varierte fra 0,75 - 1,6 m. Innenfor moreneryggen, i stasjon 139, hindret fast, steinrikt materiale dypere penetrasjon enn 0-0,20 m. 10 cm klart overkonsolidert materiale overlagret av ca. 10 cm ukonsolidert materiale ble prøvetatt ved st. 141. I stasjon 216 ble det tatt en 0.6 m lang kjerne, hvor de nederste 0,2 m var overkonsolidert og de øvre 0,4 m ukonsolidert.

Skjærfasthetsmålinger gjort med pocket penetrometer viser verdier varierende fra  $250-450 \text{ kN/m}^2$ , p.g.a. steininnholdet er imidlertid disse målingene usikre.

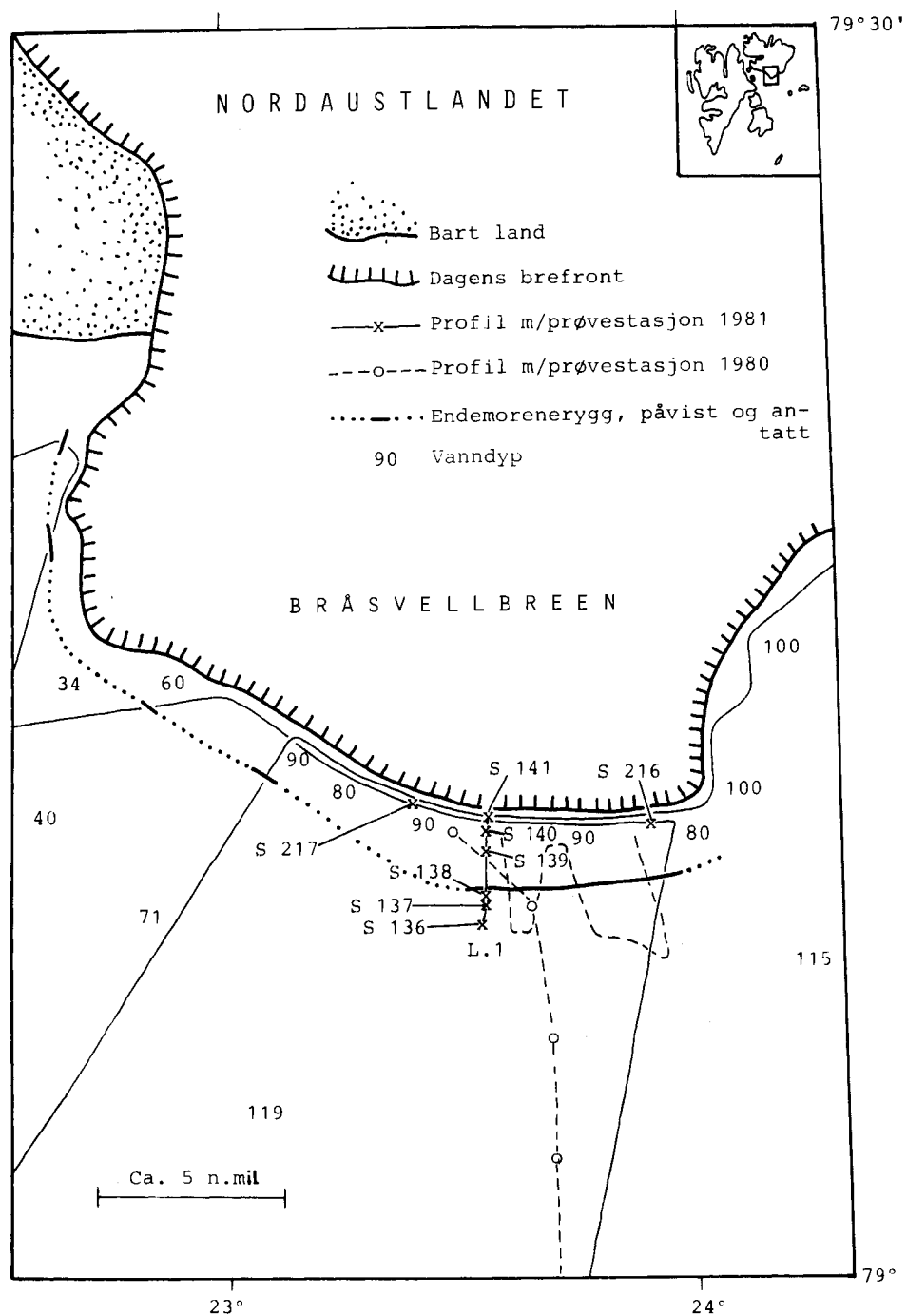


Fig. 17 : Bråsvellbreen, profiler og prøvestasjoner 1980 og 1981.

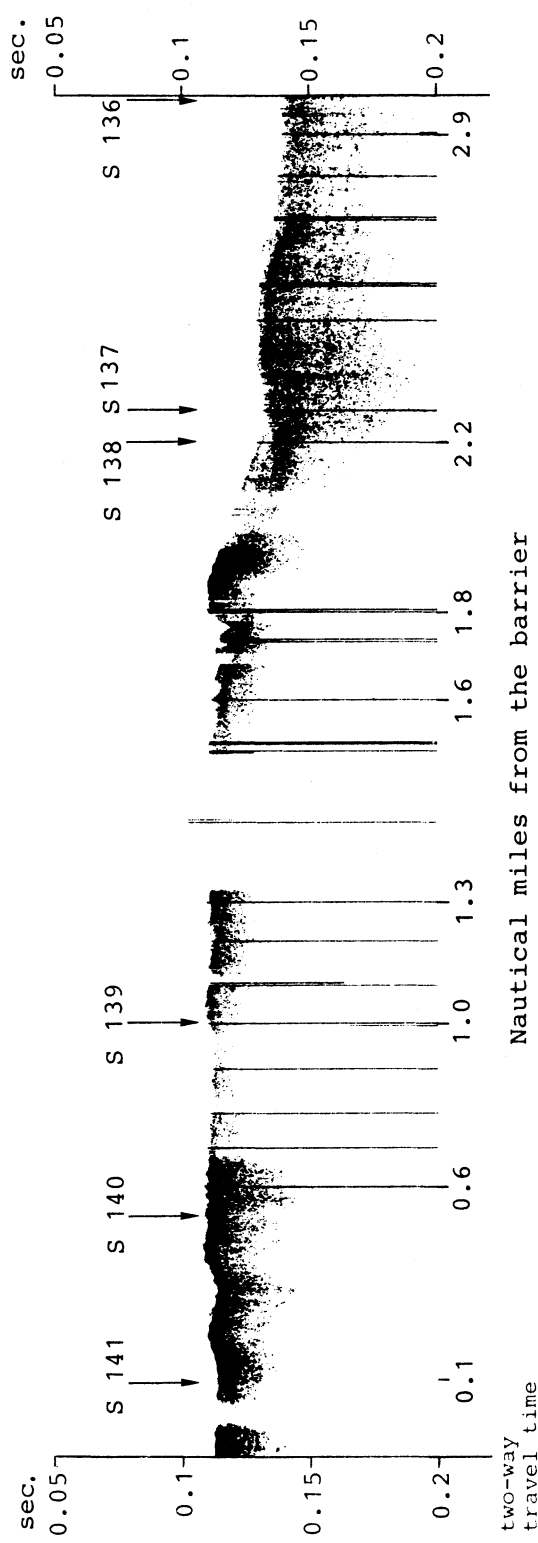


Fig. 18 : PDR-registrering og prøvestasjoner langs profil L 1, ut fra Bråsvellbreen. For lokalisering, se Fig. 17.

Fra det sparsomme og kvalitativt dårlige prøvematerialet som hittil er oppnådd, framgår det at området mellom dagens brefront og maksimal utbredelse består av overkonsolidert materiale dekket av et tynt ( 0,1 - 0,4 m ) lag løst glasiomarint sediment. Mektigheten av det overkonsoliderte materialet, samt hvordan konsolideringen evt. varierer med dypet, er imidlertid ukjent. Videre er det viktig å avgjøre om overkonsolideringen utelukkende skyldes kompakksjon fra bre-overlagring, eller om også andre effekter som permafrost eller tidlig-diagenetiske effekter kan ha betydning.

## 11 ANDRE UNDERSØKELSER

### 11.1 Nedre grense for ispløying

Fig. 19 viser et batymetrisk snitt syd for Bråsvellbreen. Ved vanndyp ca. 80 meter skifter bunnen karakter, fra ruglet til jevn. Brefronten på Bråsvellbreen er gjennomgående 90-110 m høy, og isfjell som kalver av vil kunne nå ned til 90-100 meter vanndyp. Isfjell ble hyppig observert i området og det antas at den ruglete overflaten skyldes pløying av isfjellene. Endringen i bunnrelieffet markerer således nedre grense for ispløying i området. Det er stedvis påvist ruglet bunn/aktiv pløying ned til 100 meters vanndyp.

Disse observasjonene er av spesiell interesse ved eventuell planlegging av undersjøiske installasjoner.

### 11.2 Sjøis som transportmekanisme for sediment

Under tokt II ble ofte sjøis med klastisk materiale på overflaten observert. Materialinnholdet kan skyldes

- 1) innfrysing i strandsonen
- 2) vindblåst fra land.

Denne type avsetninger har tidligere vært antatt å ha underordnet betydning for sedimentasjonen i Barentshavet. I midlertid er dagens sedimentasjonshastighet lav, 3-8 cm/1000 år, og årets observasjoner indikerer at denne type transport kan ha større betydning enn tidligere antatt.

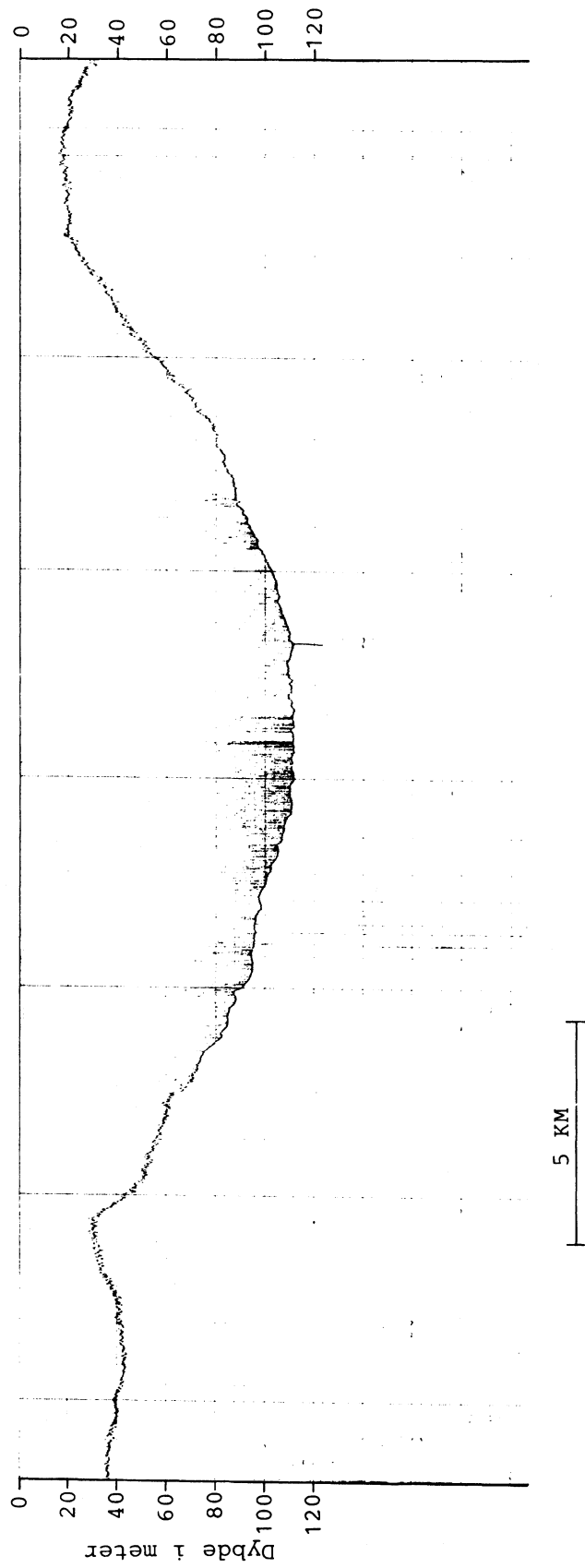


Fig. 19 : Ekkogram fra profil SV av Bråsvellbreen, v av stasjonene 128 - 134, se Fig. 2

VEDLEGG 1

Oversikt over stasjoner ved tokt II

CTD - CTD-måling, salinitet og temperatur

VP - vannprøver

N/T - lysspredningsmålinger

GC - bunnprøve, gravitasjonsprøvetaking

GR - bunnprøve, grabb

PL - plaknhton

STASJON 101

STASJON 103

ANKOMST AVREISE

TID ( GMT ) : 2000 18/8  
POSISJON :  $78^{\circ}56.7'N$   
 $12^{\circ}00.0'E$

DYP ( METER ) : 310 m

STASJONSARBEID :

CTD	VP	N/T	GC	GR	PL
X	X	X	X	X	

MERKNADER :

AVREISE

2130 18/8

- 38 -

STASJON 102

ANKOMST

AVREISE

TID ( GMT ) : 18/8

POSISJON :  $78^{\circ}56.3'N$   
 $12^{\circ}03.0'E$

DYP ( METER ) : 295 m

STASJONSARBEID :

CTD	VP	N/T	GC	GR	PL
			X		

MERKNADER :

STASJON 104

ANKOMST

AVREISE

TID ( GMT ) : 19/8

POSISJON :  $78^{\circ}56.0'N$   
 $12^{\circ}05.0'E$

DYP ( METER ) : 210 m

STASJONSARBEID :

CTD	VP	N/T	GC	GR	PL
			X		

MERKNADER :

## STASJON 105

ANKOMST AVREISE

TID ( GMT ) : 19/8  
 POSISJON : 78°54,7'N  
               12°14,5'E  
 DYP ( METER ) : 100 m

STASJONSARBEID :

CTD	VP	N/T	GC	GR	PL
		x			

MERKNADER :

## STASJON 107

ANKOMST AVREISE

TID ( GMT ) : 19/8  
 POSISJON : 78°54'N  
               12°22'E  
 DYP ( METER ) : 60 m

STASJONSARBEID :

CTD	VP	N/T	GC	GR	PL
		x			

MERKNADER :

## STASJON 106

ANKOMST AVREISE

TID ( GMT ) : 19/8  
 POSISJON : 78°54,3'N  
               12°17,3'E  
 DYP ( METER ) : 71 m

STASJONSARBEID :

CTD	VP	N/T	GC	GR	PL
		x			

MERKNADER :

## STASJON 108

ANKOMST AVREISE

TID ( GMT ) : 19/8  
 POSISJON : 78°54,1'N  
               12°24'E  
 DYP ( METER ) : 31 m

STASJONSARBEID :

CTD	VP	N/T	GC	GR	PL
		x			

MERKNADER :

## STASJON 109

ANKOMST AVREISE

TID ( GMT ) :

19/8

POSISJON :  $78^{\circ}54'N$   
 $12^{\circ}25'E$ 

DYP ( METER ) : 66 m

STASJONSARBEID :

CTD	VP	N/T	GC	GR	PL
		X			

MERKNADER :

## STASJON 111

ANKOMST AVREISE

TID ( GMT ) :

19/8

POSISJON :  $78^{\circ}55'N$   
 $12^{\circ}26'E$ 

DYP ( METER ) : 43 m

STASJONSARBEID :

CTD	VP	N/T	GC	GR	PL
		X			

MERKNADER :

## STASJON 110

ANKOMST AVREISE

TID ( GMT ) :

19/8

POSISJON :  $78^{\circ}53'N$   
 $12^{\circ}31'E$ 

DYP ( METER ) : 71 m

STASJONSARBEID :

CTD	VP	N/T	GC	GR	PL
	X	X			

MERKNADER :

## STASJON 112

ANKOMST AVREISE

TID ( GMT ) :

19/8

POSISJON :  $78^{\circ}56.4'N$   
 $12^{\circ}26'E$ 

DYP ( METER ) : 50 m

STASJONSARBEID :

CTD	VP	N/T	GC	GR	PL
		X			

MERKNADER :

## STASJON 113

STASJON 115

## ANKOMST

AVREISE

TID ( GMT ) : 19/8

POSISJON :  $78^{\circ}57.7'N$   
 $11^{\circ}55'E$ 

DYP ( METER ) : 355 m

STASJONSARBEID :

CTD	VP	N/T	GC	GR	PL
		x			

MERKNADER :

## ANKOMST

AVREISE

TID ( GMT ) : 19/8

POSISJON :  $79^{\circ}02.4'N$   
 $11^{\circ}42'E$ 

DYP ( METER ) : 40 m

STASJONSARBEID :

CTD	VP	N/T	GC	GR	PL
		x			

MERKNADER :

## STASJON 114

## ANKOMST

AVREISE

TID ( GMT ) : 19/8

POSISJON :  $79^{\circ}58.6'N$   
 $11^{\circ}48'E$ 

DYP ( METER ) : 188 m

STASJONSARBEID :

CTD	VP	N/T	GC	GR	PL
		x			

MERKNADER :

## STASJON 115

ANKOMST

AVREISE

TID ( GMT ) : 19/8

POSISJON :  $79^{\circ}02.3'N$   
 $11^{\circ}41'E$ 

DYP ( METER ) : 139 m

STASJONSARBEID :

CTD	VP	N/T	GC	GR	PL
		x			

MERKNADER :

## STASJON 117

ANKOMST :  
AVREISE

TID ( GMT ) : 19/8  
POSISJON : 79°01.5'N  
11°35'E  
DYP ( METER ) : 222 m

STASJONSARBEID :

CTD	VP	N/T	GC	GR	PL
		x			

MERKNADER :

## STASJON 119

ANKOMST :  
AVREISE

TID ( GMT ) : 19/8  
POSISJON : 79°02.2'N  
11°15'E  
DYP ( METER ) : 261

STASJONSARBEID :

CTD	VP	N/T	GC	GR	PL
		x			

MERKNADER :

## STASJON 118

ANKOMST :  
AVREISE

TID ( GMT ) : 19/8  
POSISJON : 79°00.6'N  
11°30'E  
DYP ( METER ) : 392 m

STASJONSARBEID :

CTD	VP	N/T	GC	GR	PL
		x			

MERKNADER :

## STASJON 120

ANKOMST :  
AVREISE

TID ( GMT ) : 19/8  
POSISJON : 79°02.4'N  
11°10'E  
DYP ( METER ) : 325

STASJONSARBEID :

CTD	VP	N/T	GC	GR	PL
		x			

MERKNADER :

## STASJON 121

## ANKOMST

TID ( GMT ) : 19/8  
 POSISJON :  $79^{\circ}02.3'N$   
 $10^{\circ}56'E$   
 DYP ( METER ) : 332 m

## AVREISE

TID ( GMT ) : 1128 20/8  
 POSISJON :  $80^{\circ}03.98'N$   
 $15^{\circ}18.17'E$   
 DYP ( METER ) : 155

## STASJONSARBEID :

CTD	VP	N/T	GC	GR	PL
x		x			

## MERKNADER :

:

## STASJON 123

## ANKOMST

TID ( GMT ) : 19/8  
 POSISJON :  $80^{\circ}03.40'N$   
 $15^{\circ}19.73'E$   
 DYP ( METER ) : 155

## AVREISE

TID ( GMT ) : 1128 20/8  
 POSISJON :  $80^{\circ}03.40'N$   
 $15^{\circ}19.73'E$   
 DYP ( METER ) : 155

## STASJONSARBEID :

CTD	VP	N/T	GC	GR	PL
x	x				

## MERKNADER :

:

## STASJON 122

## ANKOMST

TID ( GMT ) : 1028 20/8  
 POSISJON :  $80^{\circ}00.01'N$   
 $14^{\circ}47.62'E$   
 DYP ( METER ) : 111

## AVREISE

TID ( GMT ) : 1313 20/8  
 POSISJON :  $80^{\circ}10.38'N$   
 $16^{\circ}10.44'E$   
 DYP ( METER ) : 263

## STASJONSARBEID :

CTD	VP	N/T	GC	GR	PL
x	x				

## MERKNADER :

:

## STASJON 124

## ANKOMST

TID ( GMT ) : 1313 20/8  
 POSISJON :  $80^{\circ}11.07'N$   
 $16^{\circ}08.64'E$   
 DYP ( METER ) : 263

## AVREISE

## STASJON 125

## STASJON 127

## ANKOMST

TID ( GMT ) : 1446 20/8  
 POSISJON : 80°14,82'N  
               16°46,92'E  
 DYP ( METER ) : 373

## AVREISE

TID ( GMT ) : 1525  
 POSISJON : 80°15,68'N  
               16°45,51'E  
 DYP ( METER ) : 87

## STASJONSARBEID :

CTD	VP	N/T	GC	GR	PL
x	x	x		x	x

## MERKNADER :

MERKNADER : Strømmåling

- 44 -

## STASJON 126

## ANKOMST

TID ( GMT ) : 1555 20/8  
 POSISJON : 80°18,00'N  
               17°09,55'E  
 DYP ( METER ) : 105

## AVREISE

TID ( GMT ) : 1613  
 POSISJON : 80°17,86'N  
               17°07,89'E

78°52.57'N  
 21°48.29'E

## STASJONSARBEID :

CTD	VP	N/T	GC	GR	PL
x	x				

## MERKNADER :

MERKNADER :

## STASJON 128

## ANKOMST

TID ( GMT ) : 0920 22/8  
 POSISJON : 78°52.75'N  
               21°48.47'E

## AVREISE

## STASJONSARBEID :

CTD	VP	N/T	GC	GR	PL
x	x				

MERKNADER :

## STASJON 129

ANKOMST AVREISE

TID ( GMT ) : 1009 22/8  
 POSISJON :  $78^{\circ}56'N$   
 $22^{\circ}08'03'E$   
 DYP ( METER ) :

STASJONSARBEID :

CTD	VP	N/T	GC	GR	PL
x	x				

MERKNADER :

## STASJON 131

ANKOMST AVREISE

TID ( GMT ) : 1025  
 POSISJON :  $78^{\circ}55'75''N$   
 $22^{\circ}03'68''E$   
 DYP ( METER ) :

STASJONSARBEID :

CTD	VP	N/T	GC	GR	PL
x	x				

MERKNADER :

- 45 -

## STASJON 130

ANKOMST AVREISE

TID ( GMT ) : 1105 22/8  
 POSISJON :  $79^{\circ}00'79''N$   
 $22^{\circ}29'72''E$   
 DYP ( METER ) : 74 m

STASJONSARBEID :

CTD	VP	N/T	GC	GR	PL
x	x			x	

MERKNADER :

## STASJON 132

ANKOMST AVREISE

TID ( GMT ) : 1245 22/8  
 POSISJON :  $79^{\circ}07'94''N$   
 $22^{\circ}53'91''E$   
 DYP ( METER ) : 50 m

STASJONSARBEID :

CTD	VP	N/T	GC	GR	PL
x	x				

MERKNADER :

STASJON 133

STASJON 133

ANKOMST AVREISE

TID ( GMT ) : 1323 22/8  
 POSISJON : 79°10,13'N  
 23°04,83'E  
 DYP ( METER ) : 88 m

STASJONSARBEID :

CTD	VP	N/T	GC	GR	PL
x	x				

MERKNADER :

STASJONSARBEID :

CTD	VP	N/T	GC	GR	PL
x	x	x	x	x	

MERKNADER :

Ved barrieren

STASJON 134

ANKOMST AVREISE

TID ( GMT ) : 1400 22/8  
 POSISJON : 79°12,32'N  
 23°10,21'E  
 DYP ( METER ) :

STASJON 136

ANKOMST AVREISE

TID ( GMT ) : 1630 22/8  
 POSISJON : 79°08,21'N  
 23°34,75'E  
 DYP ( METER ) : 109 m

STASJONSARBEID :

CTD	VP	N/T	GC	GR	PL
x	x	x	x	x	

MERKNADER :

Avstand til brefront: 3,08 n.mil

CTD	VP	N/T	GC	GR	PL
x	x	x	x	x	

## STASJON 137

ANKOMST AVREISE

TID ( GMT ) : 1734 22/8

POSISJON :  $79^{\circ}09,01'N$   
 $23^{\circ}34,81'E$

1800

TID ( GMT ) : 1856 22/8

POSISJON :  $79^{\circ}09,01'N$   
 $23^{\circ}34,81'E$

1923

DYP ( METER ) : 112 m

STASJONSARBEID :

CTD	VP	N/T	GC	GR	PL
		X (3)			

MERKNADER : Avstand til barrieren; 2,44 n.mil

## STASJON 139

ANKOMST AVREISE

TID ( GMT ) : 1800

POSISJON :  $79^{\circ}10,35'N$   
 $23^{\circ}33,50'E$

1923

DYP ( METER ) : 82 m

STASJONSARBEID :

CTD	VP	N/T	GC	GR	PL
X	X	X	X	X	

MERKNADER : Fra barrieren; 1,0 n.mil

## STASJON 138

ANKOMST AVREISE

TID ( GMT ) : 1840

POSISJON :  $79^{\circ}11,03'N$   
 $23^{\circ}33,29'E$

1948

DYP ( METER ) : 107 m

STASJONSARBEID :

CTD	VP	N/T	GC	GR	PL
	X	X (3)			

MERKNADER : Avstand fra barrieren; 2,3 n.mil

## STASJON 140

ANKOMST AVREISE

TID ( GMT ) : 1932

POSISJON :  $79^{\circ}11,03'N$   
 $23^{\circ}33,29'E$

22/8

DYP ( METER ) : 86 m

STASJONSARBEID :

CTD	VP	N/T	GC	GR	PL
		X (2)			

MERKNADER : Fra isen; 0,5 n.mil

## STASJON 141

## STASJON 143

## ANKOMST

TID ( GMT ) : 1957 22/8  
 POSISJON :  $79^{\circ}11,69'N$   
 $23^{\circ}33,62'E$

DYP ( METER ) : 94 m

STASJONSARBEID :

CTD	VP	N/T	GC	GR	PL
X	X	X	X	X	

## AVREISE

2123

## ANKOMST

TID ( GMT ) : 2256 22/8  
 POSISJON :  $79^{\circ}12,28'N$   
 $24^{\circ}04,83'E$

DYP ( METER ) : 77 m

STASJONSARBEID :

CTD	VP	N/T	GC	GR	PL
X	X	X	X	X	

## AVREISE

2310

- 48 -

## STASJON 142

## ANKOMST

TID ( GMT ) : 2206 22/8  
 POSISJON :  $79^{\circ}11,12'N$   
 $23^{\circ}54,60'E$

DYP ( METER ) : 73 m

STASJONSARBEID :

CTD	VP	N/T	GC	GR	PL
X	X	X	X	X	

## AVREISE

2222

## ANKOMST

TID ( GMT ) : 0003 23/8  
 POSISJON :  $79^{\circ}15,65'N$   
 $24^{\circ}07,57'E$

DYP ( METER ) : 82

STASJONSARBEID :

CTD	VP	N/T	GC	GR	PL
X	X	X	X	X	

## AVREISE

0021

## STASJON 144

## ANKOMST

TID ( GMT ) : 0003 23/8  
 POSISJON :  $79^{\circ}15,65'N$   
 $24^{\circ}07,57'E$

STASJONSARBEID :

CTD	VP	N/T	GC	GR	PL
X	X	X	X	X	

## AVREISE

0021

MERKNADER : Like foran smeltevannsutløp. Is/isfritt med fargeforskjell i vannet. Turbulens i vannmassene og masse fugl. Breen virker innsunket over smeltevannsutløpet. Det virker og som om vannet strømmer ut flere plasser. CTD sonden tok bunnen pga en topp.

Fra iskanten: 0,3 n.mil

## STASJON 145

ANKOMST : TID ( GMT ) : 0028 23/8 AVREISE

POSISJON :  $79^{\circ}15.66'N$   
 $24^{\circ}08.85'E$

0038

TID ( GMT ) : 0137 23/8  
 POSISJON :  $79^{\circ}18.25'N$   
 $24^{\circ}25.27'E$

DYP ( METER ) : 94 m

STASJONSARBEID :

CTD	VP	N/T	GC	GR	PL
	X	X			

MERKNADER : Overflatevannprøve

På grense mellom "skittent" og "renere" vann.

## STASJON 147

ANKOMST : TID ( GMT ) : 0137 23/8 AVREISE

POSISJON :  $79^{\circ}18.25'N$   
 $24^{\circ}25.27'E$

0137

TID ( GMT ) : 0137 23/8  
 POSISJON :  $79^{\circ}18.25'N$   
 $24^{\circ}25.27'E$

DYP ( METER ) : 43 m

STASJONSARBEID :

CTD	VP	N/T	GC	GR	PL
	X	X			

MERKNADER : Overflateprøve

## STASJON 148

ANKOMST : TID ( GMT ) : 0314 23/8 AVREISE

POSISJON :  $79^{\circ}18.70'N$   
 $25^{\circ}03.12'E$

0314

TID ( GMT ) : 0314 23/8  
 POSISJON :  $79^{\circ}18.70'N$   
 $25^{\circ}03.12'E$

DYP ( METER ) : 73 m

STASJONSARBEID :

CTD	VP	N/T	GC	GR	PL
	X	X			

MERKNADER :

MERKNADER : Overflatevann.

## STASJON 146

ANKOMST : TID ( GMT ) : 0100 AVREISE

POSISJON :  $79^{\circ}16.33'N$   
 $24^{\circ}09.71'E$

0100

TID ( GMT ) : 0100  
 POSISJON :  $79^{\circ}16.33'N$   
 $24^{\circ}09.71'E$

DYP ( METER ) : 89 m

STASJONSARBEID :

CTD	VP	N/T	GC	GR	PL
	X	X			

MERKNADER :

MERKNADER : Overflatevann.

STASJON 149

ANKOMST AVREISE

TID ( GMT ) : 0341 23/8

POSISJON : 79°18,46'N  
25°06,33'E

DYP ( METER ) : 91 m

STASJONSARBEID :

CTD	VP	N/T	GC	GR	PL
	x				

MERKNADER :

STASJON 151

ANKOMST AVREISE

TID ( GMT ) : 0350

POSISJON : 79°16,17'N  
25°12,16'E

DYP ( METER ) : 98 m

STASJONSARBEID :

CTD	VP	N/T	GC	GR	PL
x		x			

MERKNADER :

STASJON 152

ANKOMST AVREISE

TID ( GMT ) : 0431 23/8

POSISJON : 79°16,17'N  
25°12,16'E

DYP ( METER ) : 98 m

STASJONSARBEID :

CTD	VP	N/T	GC	GR	PL
x	x	x			

MERKNADER :

STASJON 152

ANKOMST AVREISE

TID ( GMT ) : 0451 23/8

POSISJON : 79°15,04'N  
25°13,50'E

DYP ( METER ) : 124 m

STASJONSARBEID :

CTD	VP	N/T	GC	GR	PL
x	x	x			

MERKNADER :

## STASJON 153

## STASJON 154

## STASJON

## AVREISE

TID ( GMT ) : 0540 23/8  
 POSISJON :  $79^{\circ}09',33''N$   
 $25^{\circ}26',00'E$   
 DYP ( METER ) : 192 m

## STASJONSARBEID :

CTD	VP	N/T	GC	GR	PL
X	X				

## MERKNADER :

## STASJON

## AVREISE

TID ( GMT ) : 0555  
 POSISJON :  
 DYP ( METER ) : 192 m

## STASJONSARBEID :

CTD	VP	N/T	GC	GR	PL
X	X				

## MERKNADER :

## STASJON

## AVREISE

TID ( GMT ) : 0627 23/8

POSISJON :  $79^{\circ}04',49''N$   
 $25^{\circ}41',77'E$   
 DYP ( METER ) : 227 m

## STASJONSARBEID :

CTD	VP	N/T	GC	GR	PL
X	X				

## MERKNADER :

## STASJON 155

## AVREISE

TID ( GMT ) : 0718 23/8-81

POSISJON :  $79^{\circ}00',18''N$   
 $25^{\circ}57',39'E$   
 DYP ( METER ) : 175 m

## STASJONSARBEID :

CTD	VP	N/T	GC	GR	PL
X	X				

## MERKNADER :

## STASJON 156

## STASJON 158

ANKOMST AVREISE  
 TID ( GMT ) : 0759 23/8  
 POSISJON : 78°55,88'N 26°11,01'E  
 DYP ( METER ) : 130 m

STASJONSARBEID :

CTD	VP	N/T	GC	GR	PL
x	x				

MERKNADER :

## STASJONSARBEID :

CTD	VP	N/T	GC	GR	PL
x	x				

## MERKNADER :

## MERKNADER :

- 52 -

## STASJON 157

ANKOMST AVREISE  
 TID ( GMT ) : 0801  
 POSISJON : 78°55,81'N 26°10,95'E  
 DYP ( METER ) : 66 m

STASJONSARBEID :

CTD	VP	N/T	GC	GR	PL
x	x	x	x		

MERKNADER :

## STASJONSARBEID :

CTD	VP	N/T	GC	GR	PL
x	x				

## MERKNADER :

## MERKNADER :

## STASJON 159

ANKOMST AVREISE  
 TID ( GMT ) : 0914 23/8-81  
 POSISJON : 78°53,00'N 26°49,18'E  
 DYP ( METER ) : 104 m

STASJONSARBEID :

CTD	VP	N/T	GC	GR	PL
x	x	x	x		

CTD	VP	N/T	GC	GR	PL
x	x				

## MERKNADER :

## STASJON 160

## STASJON 162

ANKOMST : AVREISE  
TID ( GMT ) : 1030 23/8

POSISJON : 78° 54,49' N  
27° 22,68' E

DYP ( METER ) : 93 m

STASJONSARBEID :

CTD	VP	N/T	GC	GR	PL
x	x				

MERKNADER :  
:

- 53 -

## STASJON 161

ANKOMST : AVREISE

TID ( GMT ) : 1115 23/8

POSISJON : 78° 55,82' N  
27° 55,82' E

DYP ( METER ) : 76

STASJONSARBEID :

CTD	VP	N/T	GC	GR	PL
x	x				

MERKNADER : Ved Kapp Korbel

ANKOMST : AVREISE  
TID ( GMT ) : 0036 24/8-81

POSISJON : 78° 58,40' N  
27° 37,82' E

DYP ( METER ) : 116 m

STASJONSARBEID :

CTD	VP	N/T	GC	GR	PL
x	x				

MERKNADER :  
Bunnvannsprøve

STASJON 163

ANKOMST

TID ( GMT ) :

0144

24/8

0204

AVREISE

POSISJON :

$79^{\circ}03.71'N$

$27^{\circ}15.04'E$

DYP ( METER ) :

146 m

STASJONSARBEID :

CTD	VP	N/T	GC	GR	PL
X	X	X			

MERKNADER :

STASJON 164

ANKOMST

TID ( GMT ) :

0250

24/8

0324

AVREISE

POSISJON :

$79^{\circ}07.87'N$

$26^{\circ}55.56'E$

DYP ( METER ) :

210 m

STASJONSARBEID :

CTD	VP	N/T	GC	GR	PL
X	X	X			

MERKNADER :

STASJON 165

ANKOMST

TID ( GMT ) :

0144

24/8

0459

AVREISE

POSISJON :

$79^{\circ}13.20'N$

$26^{\circ}30.11'E$

DYP ( METER ) :

267 m

STASJONSARBEID :

CTD	VP	N/T	GC	GR	PL
X	X	X	X	X	X

MERKNADER :

STASJON 166

ANKOMST

TID ( GMT ) :

0249

24/8

0604

AVREISE

POSISJON :

$79^{\circ}18.21'N$

$26^{\circ}09.83'E$

DYP ( METER ) :

151 m

STASJONSARBEID :

CTD	VP	N/T	GC	GR	PL
X	X	X	X	X	X

MERKNADER :

## STASJON 167

## ANKOMST AVREISE

TID ( GMT ) : 0657 24/8  
 POSISJON :  $79^{\circ}22.60'N$   
 $25^{\circ}46.61'E$

0731

DYP ( METER ) : 96 m

STASJONSARBEID :

CTD	VP	N/T	GC	GR	PL
X	X	X			X

MERKNADER :

MERKNADER : 500 m fra fronten

## STASJON 168

## ANKOMST AVREISE

TID ( GMT ) : 0945 24/8  
 POSISJON :  $79^{\circ}24.00'N$   
 $25^{\circ}36.56'E$

DYP ( METER ) : 76 m

STASJONSARBEID :

CTD	VP	N/T	GC	GR	PL
X	X	X			X

MERKNADER : 1400 m fra barrieren

## STASJON 169

## ANKOMST AVREISE

TID ( GMT ) : 0657 24/8  
 POSISJON :  $78^{\circ}23.79'N$   
 $25^{\circ}36.36'E$

1008 24/8

DYP ( METER ) : 68 m

STASJONSARBEID :

CTD	VP	N/T	GC	GR	PL
			X		

MERKNADER :

MERKNADER : 500 m fra fronten

## STASJON 170

## AVREISE

TID ( GMT ) : 1020  
 POSISJON :  $79^{\circ}23.91'N$   
 $25^{\circ}35.74'E$

1040

DYP ( METER ) : 250 m

STASJONSARBEID :

CTD	VP	N/T	GC	GR	PL
X	X	X			X

MERKNADER : 200 m fra barrieren

## STASJON 171

## ANKOMST AVREISE

TID ( GMT ) : 1100 24/8  
 POSISJON :  $79^{\circ}25.53'N$   
 $25^{\circ}42.53'E$

DYP ( METER ) : 85 m

## STASJONSARBEID :

CTD	VP	N/T	GC	GR	PL
X	X	X			

MERKNADER : 400 m fra barrieren

- 56 -

## STASJON 173

## ANKOMST AVREISE

TID ( GMT ) : 1115 24/8  
 POSISJON :  $79^{\circ}25.72'N$   
 $25^{\circ}44.56'E$

DYP ( METER ) : 56 m

## STASJONSARBEID :

CTD	VP	N/T	GC	GR	PL
X	X	X	X		

MERKNADER : 1 n.mil øst av barrieren,  
 Smeltevannet ligger meget nær barrieren,  
 < 200 m.

Nordover fra 173; meget klart vann.

## STASJON 172

## ANKOMST AVREISE

TID ( GMT ) : 1200 24/8  
 POSISJON :  $79^{\circ}29.59'N$   
 $25^{\circ}51.83'E$

DYP ( METER ) : 61 m

## STASJONSARBEID :

CTD	VP	N/T	GC	GR	PL
X	X	X			

MERKNADER : Syd av Isispynten.  
 Skittent vann  
 Ishøyde: 19.6 m

## STASJON 174

## ANKOMST AVREISE

TID ( GMT ) : 1339 24/8  
 POSISJON :  $79^{\circ}30.72'N$   
 $25^{\circ}44.30'E$

DYP ( METER ) : 107 m

CTD	VP	N/T	GC	GR	PL
X	X	X	X		

MERKNADER : Vannet er rødfarget pga av høytinnehold  
 suspenderd materiale. Store flokker av  
 fugl ved smeltevannsutløpet.  
 Ishøyde 26.7 meter

## STASJON 175

## STASJON 177

## ANKOMST AVREISE

TID ( GMT ) : 1410 24/8  
 POSISJON :  $79^{\circ}31.65'N$   
 $25^{\circ}48.91'E$

DYP ( METER ) : 125 m

## STASJONSARBEID :

CTD	VP	N/T	GC	GR	PL
X					

## MERKNADER :

CTD	VP	N/T	GC	GR	PL
X					

## MERKNADER :

340 m fra isfronten

Sterk strøm ved utløpet i barrieren,  
 - passerte ut av overflatestrommen mens  
 transmissiometeret gikk ned.

## STASJON 176

## ANKOMST AVREISE

TID ( GMT ) : 1428 24/8  
 POSISJON :  $79^{\circ}31.72'N$   
 $25^{\circ}55.07'E$

DYP ( METER ) : 129 m

## STASJONSARBEID :

CTD	VP	N/T	GC	GR	PL
X	X	X			

## MERKNADER :

1.6 nm fra barrieren

## STASJON 177

## ANKOMST AVREISE

## ANKOMST

## AVREISE

TID ( GMT ) : 1523 24/8  
 POSISJON :  $79^{\circ}32.07'N$   
 $25^{\circ}42.76'E$

DYP ( METER ) : 128 m

## STASJONSARBEID :

CTD	VP	N/T	GC	GR	PL
X	X	X			

## MERKNADER :

340 m fra isfronten

Sterk strøm ved utløpet i barrieren,  
 - passerte ut av overflatestrommen mens  
 transmissiometeret gikk ned.

## STASJON 178

## ANKOMST AVREISE

## ANKOMST

## AVREISE

TID ( GMT ) : 1725 24/8  
 POSISJON :  $79^{\circ}38.21'N$   
 $26^{\circ}19.02'E$

DYP ( METER ) : 113 m

## STASJONSARBEID :

CTD	VP	N/T	GC	GR	PL
X	X	X			

## MERKNADER :

Ishøyde: 43 m

Vannet er sterkt grønnfarget

0.25 nm fra isfronten

## STASJON 179

## STASJON 181

## ANKOMST

## AVREISE

TID ( GMT ) : 0747 26/8  
 POSISJON :  $79^{\circ}12.83'N$   
 $41^{\circ}21.27'E$

DYP ( METER ) : 339 m

STASJONSARBEID :

CTD	VP	N/T	GC	GR	PL
X					

MERKNADER :

## ANKOMST

## AVREISE

TID ( GMT ) : 1039 26/8  
 POSISJON :  $79^{\circ}12.03'N$   
 $39^{\circ}10.31'E$

DYP ( METER ) : 220 m

STASJONSARBEID :

CTD	VP	N/T	GC	GR	PL
X					

MERKNADER :

- 58 -

## STASJON 182

## ANKOMST

## AVREISE

TID ( GMT ) : 1206 26/8  
 POSISJON :  $79^{\circ}08.58'N$   
 $38^{\circ}04.8'E$

DYP ( METER ) : 325 m

STASJONSARBEID :

CTD	VP	N/T	GC	GR	PL
X					

MERKNADER :

## STASJON 180

## ANKOMST

## AVREISE

TID ( GMT ) : 0925  
 POSISJON :  $79^{\circ}12.62'N$   
 $40^{\circ}12.79'E$

DYP ( METER ) : 182 m

STASJONSARBEID :

CTD	VP	N/T	GC	GR	PL
X					

MERKNADER :

## STASJON 181

## AVREISE

TID ( GMT ) : 1231  
 POSISJON :  $79^{\circ}08.58'N$   
 $38^{\circ}04.8'E$

DYP ( METER ) : 325 m

STASJONSARBEID :

CTD	VP	N/T	GC	GR	PL
X					

MERKNADER :

## AVREISE

1054

## AVREISE

1231

## STASJON 183

## ANKOMST

## AVREISE

TID ( GMT ) :

1350 26/8

POSISJON :

 $79^{\circ}02.97'N$   
 $37^{\circ}11.07'E$ 

DYP ( METER ) :

298 m

STASJONSARBEID :

CTD	VP	N/T	GC	GR	PL
x					

MERKNADER :

## STASJON 184

## ANKOMST

## AVREISE

TID ( GMT ) :

1530 26/8

POSISJON :

 $79^{\circ}03.60'N$   
 $36^{\circ}07.92'E$ 

DYP ( METER ) :

313 m

STASJONSARBEID :

CTD	VP	N/T	GC	GR	PL
x					

MERKNADER :

## STASJON 185

## ANKOMST

## AVREISE

TID ( GMT ) :

1406 26/8

POSISJON :

 $78^{\circ}54.53'N$   
 $35^{\circ}52.97'E$ 

DYP ( METER ) :

262 m

STASJONSARBEID :

CTD	VP	N/T	GC	GR	PL
x					

MERKNADER :

## STASJON 186

## AVREISE

TID ( GMT ) :

1720 26/8

POSISJON :

 $78^{\circ}54.53'N$   
 $35^{\circ}52.97'E$ 

DYP ( METER ) :

262 m

STASJONSARBEID :

CTD	VP	N/T	GC	GR	PL
x					

MERKNADER :

## STASJON 186

## AVREISE

TID ( GMT ) :

1929 26/8

POSISJON :

 $78^{\circ}48.64'N$   
 $34^{\circ}36.12'E$ 

DYP ( METER ) :

320 m

STASJONSARBEID :

CTD	VP	N/T	GC	GR	PL
x					

MERKNADER :

STASJON 187

ANKOMST : AVREISE

TID ( GMT ) : 2138 26/8  
 POSISJON : 78°48'.74'N  
 33°18.44'E  
 DYP ( METER ) : 310 m

STASJONSARBEID :

CTD	VP	N/T	GC	GR	PL
X					

MERKNADER :

STASJON 189

ANKOMST : AVREISE

TID ( GMT ) : 2155  
 POSISJON : 78°58.63'N  
 31°29.57'E  
 DYP ( METER ) : 235 m

STASJONSARBEID :

CTD	VP	N/T	GC	GR	PL
X					

MERKNADER :

STASJON 188

ANKOMST : AVREISE

TID ( GMT ) : 2307 26/8  
 POSISJON : 78°54.17'N  
 32°22.83'E  
 DYP ( METER ) : 257

STASJONSARBEID :

CTD	VP	N/T	GC	GR	PL
X					

MERKNADER :

STASJON 190

ANKOMST : AVREISE

TID ( GMT ) : 0145 27/8  
 POSISJON : 79°00.58'N  
 30°57.03'E  
 DYP ( METER ) : 221 m

STASJONSARBEID :

CTD	VP	N/T	GC	GR	PL
X					

MERKNADER :

MERKNADER :

## STASJON 191

STASJON 193

## ANKOMST AVREISE

TID ( GMT ) : 0250 27/8  
 POSISJON :  $79^{\circ}06.31'N$   
 $30^{\circ}55.55'E$   
 DYP ( METER ) : 73 m

STASJONSARBEID :

CTD	VP	N/T	GC	GR	PL
x		x			

MERKNADER :

MERKNADER :

:

MERKNADER :

:

- 61 -

## STASJON 192

STASJON 194

## ANKOMST AVREISE

TID ( GMT ) : 0411 27/8  
 POSISJON :  $79^{\circ}12.33'N$   
 $31^{\circ}00.12'E$   
 DYP ( METER ) : 127 m

STASJONSARBEID :

CTD	VP	N/T	GC	GR	PL
x		x			

MERKNADER :

:

CTD	VP	N/T	GC	GR	PL
x	x	x			

TID ( GMT ) : 0452 27/8  
 POSISJON :  $79^{\circ}18.23'N$   
 $30^{\circ}59.45'E$   
 DYP ( METER ) : 268 m

STASJONSARBEID :

CTD	VP	N/T	GC	GR	PL
x	x	x			

MERKNADER :

:

## STASJON 195

STASJON 197

## ANKOMST

TID ( GMT ) : 0656 27/8  
 POSISJON :  $79^{\circ}30.90'N$   
 $30^{\circ}48.76'E$

DYP ( METER ) : 284 m

## STASJONSARBEID :

CTD	VP	N/T	GC	GR	PL
x					

## MERKNADER :

## AVREISE

TID ( GMT ) : 0709  
 POSISJON :  $79^{\circ}47.65'N$   
 $31^{\circ}02.52'E$

DYP ( METER ) : 114 m

## STASJONSARBEID :

CTD	VP	N/T	GC	GR	PL
x					

## MERKNADER :

## ANKOMST

TID ( GMT ) : 0905 27/8  
 POSISJON :  $79^{\circ}47.65'N$   
 $31^{\circ}02.52'E$

DYP ( METER ) : 114 m

## STASJONSARBEID :

CTD	VP	N/T	GC	GR	PL
x					

## MERKNADER :

## AVREISE

TID ( GMT ) : 0905 27/8  
 POSISJON :  $79^{\circ}47.65'N$   
 $31^{\circ}02.52'E$

DYP ( METER ) : 114 m

## STASJONSARBEID :

CTD	VP	N/T	GC	GR	PL
x					

## MERKNADER :

## ANKOMST

TID ( GMT ) : 1006 27/8  
 POSISJON :  $79^{\circ}53.62'N$   
 $30^{\circ}35.08'E$

DYP ( METER ) : 85 m

## STASJONSARBEID :

CTD	VP	N/T	GC	GR	PL
x					

## MERKNADER :

## AVREISE

TID ( GMT ) : 1014  
 POSISJON :  $79^{\circ}53.62'N$   
 $30^{\circ}35.08'E$

DYP ( METER ) : 85 m

## STASJONSARBEID :

CTD	VP	N/T	GC	GR	PL
x					

## MERKNADER :

## STASJON 199

STASJON 201

## ANKOMST

TID ( GMT ) :

1139 27/8

POSISJON :

 $79^{\circ}59.56'N$   
 $30^{\circ}35.78'E$ 

DYP ( METER ) :

85

STASJONSARBEID :

CTD	VP	N/T	GC	GR	PL
X		X			

MERKNADER :

## AVREISE

## AVREISE

TID ( GMT ) :

1155

POSISJON :

 $80^{\circ}05.69'N$   
 $30^{\circ}44.38'E$ 

DYP ( METER ) :

STASJONSARBEID :

CTD	VP	N/T	GC	GR	PL
X		X			X

MERKNADER :

- 63 -

## STASJON 200

## ANKOMST

## AVREISE

TID ( GMT ) :

1400 27/8

POSISJON :

 $80^{\circ}05.55'N$   
 $31^{\circ}17.44'E$ 

DYP ( METER ) :

STASJONSARBEID :

CTD	VP	N/T	GC	GR	PL
X		X			

MERKNADER :

## STASJON 202

## ANKOMST

## AVREISE

TID ( GMT ) :

1632 27/8

POSISJON :

 $80^{\circ}05.37'N$   
 $30^{\circ}08.44'E$ 

DYP ( METER ) :

STASJONSARBEID :

CTD	VP	N/T	GC	GR	PL
X		X			

MERKNADER :

MERKNADER :

CTD	VP	N/T	GC	GR	PL
X		X			

80 $^{\circ}$ 05.19'N  
30 $^{\circ}$ 06.94'E

## STASJON 203

ANKOMST AVREISE

TID ( GMT ) :

1732 27/8

POSISJON :

80°05.23'N  
29°32.51'E

DYP ( METER ) :

347

STASJONSARBEID :

CTD	VP	N/T	GC	GR	PL
x	x	x		x	x

MERKNADER :

ANKOMST AVREISE

TID ( GMT ) :

1812

POSISJON :

80°05.55'E  
29°30.48 E

DYP ( METER ) :

103

STASJONSARBEID :

CTD	VP	N/T	GC	GR	PL
x	x	x	x	x	x

MERKNADER :

- 64 -

## STASJON 204

ANKOMST AVREISE

TID ( GMT ) :

1900 27/8

POSISJON :

80°02.69'N  
28°56.98'E

DYP ( METER ) :

230

STASJONSARBEID :

CTD	VP	N/T	GC	GR	PL
x	x	x		x	

MERKNADER :

## STASJON 205

ANKOMST AVREISE

TID ( GMT ) :

2000

27/8.

2251

POSISJON :

80°04.55'N  
28°36.14'E

DYP ( METER ) :

84

STASJONSARBEID :

CTD	VP	N/T	GC	GR	PL
x	x	x	x	x	x

MERKNADER :

## STASJON 207

## STASJON 209

ANKOMST : TID ( GMT ) : 1325 27/8  
 AVREISE :  
 POSISJON : 78°44.11'N 26°03.86'E  
 DYP ( METER ) : 86

STASJONSARBEID :  

CTD	VP	N/T	GC	GR	PL
x	x				

MERKNADER :

MERKNADER :

## STASJON 208

## STASJON 210

ANKOMST : TID ( GMT ) : 1420 28/8  
 AVREISE :  
 POSISJON : 78°32.56'N 25°40.15'E  
 DYP ( METER ) : 117

STASJONSARBEID :

CTD	VP	N/T	GC	GR	PL
x	x				

MERKNADER :

ANKOMST : TID ( GMT ) : 1534 28/8  
 AVREISE :  
 POSISJON : 78°34.43'N 25°00.91'E

DYP ( METER ) : 171

STASJONSARBEID :

CTD	VP	N/T	GC	GR	PL
x	x	x	x		

MERKNADER :

ANKOMST : TID ( GMT ) : 1700 28/8  
 AVREISE :  
 POSISJON : 78°27.42'N 24°23.57'E

DYP ( METER ) : 120

CTD	VP	N/T	GC	GR	PL
x	x	x	x		

MERKNADER :

ANKOMST : TID ( GMT ) : 1720 28/8  
 AVREISE :  
 POSISJON : 78°34.47'N 25°01.68'E

## STASJON 211

ANKOMST	AVREISE												
TID ( GMT ) : 1821 28/8													
POSISJON : $78^{\circ}19.96'N$ $23^{\circ}50.46'E$													
DYP ( METER ) : 59													
STASJONSARBEID :													
	<table border="1"><tr><th>CTD</th><th>VP</th><th>N/T</th><th>GC</th><th>GR</th><th>PL</th></tr><tr><td>x</td><td>x</td><td>x</td><td></td><td></td><td></td></tr></table>	CTD	VP	N/T	GC	GR	PL	x	x	x			
CTD	VP	N/T	GC	GR	PL								
x	x	x											
MERKNADER :													

## STASJON 213

ANKOMST	AVREISE												
TID ( GMT ) : 1835													
POSISJON : $78^{\circ}47.93'N$ $23^{\circ}50.57'E$													
DYP ( METER ) : 184													
STASJONSARBEID :													
	<table border="1"><tr><th>CTD</th><th>VP</th><th>N/T</th><th>GC</th><th>GR</th><th>PL</th></tr><tr><td>x</td><td></td><td></td><td></td><td></td><td></td></tr></table>	CTD	VP	N/T	GC	GR	PL	x					
CTD	VP	N/T	GC	GR	PL								
x													
MERKNADER :													

- 66 -

## STASJON 214

ANKOMST	AVREISE												
TID ( GMT ) : 2214 28/8													
POSISJON : $78^{\circ}50.84'N$ $23^{\circ}47.93'N$													
DYP ( METER ) : 184													
STASJONSARBEID :													
	<table border="1"><tr><th>CTD</th><th>VP</th><th>N/T</th><th>GC</th><th>GR</th><th>PL</th></tr><tr><td>x</td><td></td><td></td><td></td><td></td><td></td></tr></table>	CTD	VP	N/T	GC	GR	PL	x					
CTD	VP	N/T	GC	GR	PL								
x													
MERKNADER :													

## STASJON 212

ANKOMST	AVREISE												
TID ( GMT ) : 2343 28/8													
POSISJON : $79^{\circ}03.47'N$ $23^{\circ}50.46'E$													
DYP ( METER ) : 116													
STASJONSARBEID :													
	<table border="1"><tr><th>CTD</th><th>VP</th><th>N/T</th><th>GC</th><th>GR</th><th>PL</th></tr><tr><td>x</td><td></td><td>x</td><td></td><td></td><td></td></tr></table>	CTD	VP	N/T	GC	GR	PL	x		x			
CTD	VP	N/T	GC	GR	PL								
x		x											
MERKNADER :													

## STASJON 211

ANKOMST	AVREISE												
TID ( GMT ) : 2037 28/8													
POSISJON : $78^{\circ}36.24'N$ $23^{\circ}38.68'E$													
DYP ( METER ) : 83													
STASJONSARBEID :													
	<table border="1"><tr><th>CTD</th><th>VP</th><th>N/T</th><th>GC</th><th>GR</th><th>PL</th></tr><tr><td>x</td><td></td><td></td><td></td><td>x</td><td></td></tr></table>	CTD	VP	N/T	GC	GR	PL	x				x	
CTD	VP	N/T	GC	GR	PL								
x				x									
MERKNADER :													

## STASJON 215

## STASJON 217

## ANKOMST AVREISE

TID ( GMT ) : 0035 29/8

POSISJON :  $79^{\circ}08.63'N$   
 $23^{\circ}50.83'E$ 

DYP ( METER ) : 97

## STASJONSARBEID :

CTD	VP	N/T	GC	GR	PL
x		x			

MERKNADER : 3 n.mil fra barrieren

STASJON 216  
ANKOMST AVREISE

TID ( GMT ) : 0114 29/8

POSISJON :  $79^{\circ}11.22'N$   
 $22^{\circ}55.73'E$ 

DYP ( METER ) : 81

## STASJONSARBEID :

CTD	VP	N/T	GC	GR	PL
x	x	x	x (2)		

MERKNADER : 0.42 n.mil fra barrieren

## MERKNADER :

## ANKOMST AVREISE

TID ( GMT ) : 0055 29/8

POSISJON :  $79^{\circ}08.63'N$   
 $23^{\circ}50.83'E$ 

DYP ( METER ) : 95

## STASJONSARBEID :

CTD	VP	N/T	GC	GR	PL
			x		

GC: hiv 1, litt materiale i spiss,  
hiv 2, røret bøyd foran, spissen vekk!  
MERKNADER : 0.46 n.mil fra barrieren

Tønneskrapa:

Skrapetid: I vannet; 0357 - 0406  
Wirelengde: 196 m

## STASJON 218

## ANKOMST AVREISE

TID ( GMT ) : 0319 29/8

POSISJON :  $79^{\circ}11.35'N$   
 $23^{\circ}26.25'E$ 

DYP ( METER ) : 162

## STASJONSARBEID :

CTD	VP	N/T	GC	GR	PL
x					

MERKNADER :

:

## STASJON 219

AVREISE  
ANKOMST

TID ( GMT ) : 1121 29/8  
 POSISJON :  $79^{\circ}37.55'N$   
 $18^{\circ}53.73'E$   
 DYP ( METER ) : 331

STASJONSARBEID :

CTD	VP	N/T	GC	GR	PL
x					

MERKNADER :

## STASJON 221

AVREISE  
ANKOMST

TID ( GMT ) : 1139 29/8  
 POSISJON :  $80^{\circ}02.04'N$   
 $17^{\circ}24.30'E$   
 DYP ( METER ) : 411

STASJONSARBEID :

CTD	VP	N/T	GC	GR	PL
x					

MERKNADER :

## STASJON 220

AVREISE

ANKOMST

TID ( GMT ) : 1315 29/8  
 POSISJON :  $79^{\circ}46.94'N$   
 $18^{\circ}02.96'E$   
 DYP ( METER ) : 419

STASJONSARBEID :

CTD	VP	N/T	GC	GR	PL
x					

MERKNADER :

## STASJON 222

AVREISE

ANKOMST

TID ( GMT ) : 1506 29/8  
 POSISJON :  $80^{\circ}56.9'N$   
 $11^{\circ}59.5'E$   
 DYP ( METER ) : 38

STASJONSARBEID :

CTD	VP	N/T	GC	GR	PL
x		x			

MERKNADER :

## STASJON 223

ANKOMST :  
AVREISE :

TID ( GMT ) : 1/9  
POSISJON :  $78^{\circ}56.3'N$   
 $12^{\circ}01'E$

DYP ( METER ) : 276

STASJONSARBEID :

CTD	VP	N/T	GC	GR	PL
x		x			x

MERKNADER :

## STASJON 225

AVREISE :

ANKOMST :  
AVREISE

TID ( GMT ) : 1/9  
POSISJON :  $78^{\circ}57.4'N$   
 $12^{\circ}03.5'E$

DYP ( METER ) :

STASJONSARBEID :

CTD	VP	N/T	GC	GR	PL
x		x			

MERKNADER :

## STASJON 224

ANKOMST :  
AVREISE

TID ( GMT ) : 1/9

POSISJON :  $78^{\circ}56.6'N$   
 $12^{\circ}02'E$

DYP ( METER ) : 280

STASJONSARBEID :

CTD	VP	N/T	GC	GR	PL
x		x			

MERKNADER :

## STASJON 226

ANKOMST :  
AVREISE

TID ( GMT ) : 1/9

POSISJON :  $78^{\circ}57.5'N$   
 $12^{\circ}12'E$

DYP ( METER ) : 127

STASJONSARBEID :

CTD	VP	N/T	GC	GR	PL
x		x			

MERKNADER :

## STASJON 227

ANKOMST AVREISE

TID ( GMT ) :

1/9

POSISJON :

78°56.7'N  
12°12.5'E

DYP ( METER ) :

194

STASJONSARBEID :

CTD	VP	N/T	GC	GR	PL
x	x.	x		x	x

MERKNADER :

STASJONSARBEID :

CTD	VP	N/T	GC	GR	PL
x	x	x	x	x	x

- 70 -

## STASJON

ANKOMST AVREISE

TID ( GMT ) :

1/9

POSISJON :

78°55.1'N

12°11'E

DYP ( METER ) :

122

STASJONSARBEID :

CTD	VP	N/T	GC	GR	PL
x				x	

MERKNADER :

MERKNADER :

## STASJON 229

ANKOMST AVREISE

TID ( GMT ) :

1/9

POSISJON :

78°55.1'N

12°11'E

DYP ( METER ) :

122

STASJONSARBEID :

CTD	VP	N/T	GC	GR	PL
x		x		x	

MERKNADER :

MERKNADER :

**VEDLEGG 2**

**Navigasjon, tokt II**

**Alle klokkeslett i GMT.**

TIME	LATITUDE	LONGITUDE	TIME	LATITUDE	LONGITUDE	
18/8	638	78 16.0	15 27.5	2245	79 51.1	12 53.5
	720	78 14.1	14 51.5	231	79 52.7	11 6.3
	736	78 13.4	14 32.2	2310	79 53.4	11 12.0
	824	78 11.2	14 5.2	2314	79 53.7	11 14.9
	911	78 9.4	13 27.0	2330	79 52.7	11 23.3
	948	78 3.5	12 56.9	2334	79 52.5	11 32.9
	1009	78 3.1	12 32.9	2345	79 52.5	11 43.3
	1111	78 5.3	11 54.0	12	79 52.7	11 51.5
	1134	78 10.9	11 31.3	316	79 42.0	11 55.9
	1155	78 13.5	11 20.3	330	79 45.3	11 59.2
	1251	78 23.3	10 45.6	346	79 44.2	12 1.9
	1320	78 25.2	10 35.9	357	79 43.5	12 4.1
	1340	78 27.4	10 32.0	123	79 43.5	12 9.6
	1509	78 41.3	10 14.3	616	79 45.2	12 4.3
	1526	78 45.0	10 9.2	645	79 47.2	12 4.3
	1659	78 53.2	10 31.2	655	79 49.0	12 1.9
	1721	78 53.3	10 57.2	712	79 51.4	12 13.5
	1836	78 56.7	11 55.2	716	79 51.9	12 16.2
	1900	78 55.9	11 54.8	730	79 53.3	12 26.6
	2047	78 57.3	11 57.5	745	79 55.0	12 41.8
	2153	78 58.0	12 0.3	800	79 56.5	12 53.4
	2211	78 56.1	12 0.9	80	79 56.6	12 54.3
	2341	78 54.7	12 11.0	316	79 57.3	13 10.1
19/8	00	78 54.5	12 12.6	825	79 57.6	13 17.3
	1958	79 24.3	10 27.1	830	79 57.9	13 22.3
	2015	79 25.3	10 24.9	845	79 58.7	13 36.1
	2015	79 25.3	10 24.9	850	79 59.1	13 42.6
	2015	79 25.3	10 24.9	91	79 59.5	13 52.7
	2015	79 25.3	10 24.9	915	79 60.0	14 5.7
	2015	79 25.3	10 24.9	925	79 59.9	14 15.2
	2015	79 25.3	10 24.9	931	79 59.7	14 21.6
	2015	79 25.3	10 24.9	945	79 59.3	14 30.1
	2015	79 25.3	10 24.9	1000	80 0.2	14 30.1
	2015	79 25.3	10 24.9	104	79 59.6	14 31.4
	2015	79 25.3	10 24.9	1015	79 60.0	14 43.5
	2015	79 25.3	10 24.9	1028	79 60.0	14 48.6
	2015	79 25.3	10 24.9	1042	79 60.0	14 49.6
	2015	79 25.3	10 24.9	110	80 1.5	15 4.3
	2015	79 25.3	10 24.9	1115	80 2.3	15 14.9
	2015	79 25.3	10 24.9	1128	80 3.5	15 20.1
	2015	79 25.3	10 24.9	1142	80 3.5	15 19.9
	2015	79 25.3	10 24.9	1154	80 3.5	15 19.3
	2015	79 25.3	10 24.9	120	80 3.7	15 20.2
	2015	79 25.3	10 24.9	1215	80 5.0	15 29.4
	2015	79 25.3	10 24.9	1230	80 6.6	15 32.5
	2015	79 25.3	10 24.9	1245	80 8.3	15 49.3
	2015	79 25.3	10 24.9	130	80 9.7	15 53.6
	2015	79 25.3	10 24.9	1314	80 11.0	16 7.2
	2015	79 25.3	10 24.9	1317	80 11.1	16 7.5
	2017	79 26.7	10 24.0	1339	80 11.3	16 10.0
	2030	79 22.5	10 21.6	1411	80 12.6	16 23.3
	2045	79 33.0	10 18.9	1430	80 14.3	16 33.7
	2100	79 30.5	10 16.0	1436	80 14.9	16 43.5
	2100	79 35.7	10 16.5	1445	80 15.4	16 45.5
	2115	79 33.9	10 15.3	154	80 15.4	16 45.5
	2120	79 39.7	10 16.6	1526	80 15.7	16 46.0
	2121	79 39.9	10 16.9	1533	80 16.2	16 52.6
	2130	79 41.2	10 17.2	1545	80 16.9	17 0.7
	2200	79 45.0	11 23.0	1555	81 17.5	17 3.6
	2211	79 47.7	11 30.3	1613	81 17.9	17 11.7
	2230	79 42.3	10 42.5	1655	81 17.5	17 16.2

TIME	LATITUDE	LONGITUDE	TIME	LATITUDE	LONGITUDE	
1631	80 19.7	17 19.4	20 5	79 58.7	17 41.2	
1647	80 22.2	17 31.7	20 30	79 54.3	17 50.9	
1650	80 22.6	17 33.0	20 45	79 52.6	17 56.2	
17 1	80 23.6	17 42.0	21 0	79 50.2	18 2.2	
1715	80 25.7	17 33.7	21 17	79 47.5	18 8.1	
1730	80 27.9	17 46.0	21 30	79 45.7	18 13.4	
1732	80 28.4	17 47.3	21 46	79 43.3	18 13.6	
1745	80 30.3	17 51.8	21 55	79 42.2	18 21.3	
18 0	80 31.0	18 7.3	22 0	79 41.3	18 23.1	
1815	80 31.3	18 25.1	22 15	79 40.7	18 38.3	
1819	80 31.9	18 30.0	22 29	79 39.3	18 49.6	
1830	80 32.2	18 39.4	22 32	79 39.6	18 53.1	
1833	80 32.5	18 41.7	22 39	79 38.6	19 7.6	
2219	80 34.1	18 56.5	23 1	79 37.9	19 15.5	
<u>21/8</u>	<u>1113</u>	<u>80 33.1</u>	<u>19 57.8</u>	<u>2315</u>	<u>79 36.2</u>	<u>19 22.1</u>
	1130	80 33.3	20 5.8	2317	79 35.8	19 23.3
	1143	80 33.6	20 25.1	2330	79 34.3	19 30.3
	1145	80 33.6	20 26.9	2343	79 32.9	19 37.4
	1155	80 34.0	21 34.4	2345	79 32.6	19 38.9
	12 1	80 34.6	20 33.5	<u>22/8</u>	0 0	79 30.7
	12 9	80 35.2	20 31.3		015	79 28.7
	1215	80 35.5	20 30.6		019	79 28.0
	1230	80 36.2	20 28.2		030	79 26.5
	1239	80 36.2	20 27.7		045	79 24.8
	1245	80 36.4	20 24.6		1 0	79 22.3
	1247	80 36.3	20 23.0		1 6	79 21.9
	1258	80 35.5	20 24.5		118	79 20.5
	13 0	80 35.2	20 26.3		130	79 12.5
	1315	80 33.6	20 17.3		145	79 17.9
	1330	80 32.6	20 5.4		2 0	79 16.4
	1345	80 32.7	19 52.4		215	79 14.5
	1351	80 31.9	19 46.9		219	79 14.6
	14 0	80 31.5	19 42.0		230	79 14.3
	1424	80 32.2	19 29.1		245	79 15.0
	1445	80 32.6	19 11.5		255	79 15.2
	15 0	80 32.2	18 58.3		3 3	79 15.4
	1515	80 31.5	18 41.9		330	79 17.1
	1529	80 31.3	18 25.7		345	79 18.1
	1533	80 31.7	18 25.0		359	79 13.9
	1539	80 31.2	18 19.3		4 0	79 18.9
	16 0	80 29.5	18 1.3		415	79 19.4
	1610	80 29.4	17 53.7		430	79 19.9
	1615	80 29.3	17 49.1		443	79 20.5
	1623	80 29.0	17 40.8		445	79 20.6
	1630	80 28.6	17 35.3		447	79 20.5
	1645	80 27.0	17 22.6		5 0	79 20.0
	17 0	80 25.7	17 7.0		510	79 12.8
	1710	80 24.7	17 0.7		523	79 19.2
	1715	80 24.1	16 59.2		545	79 17.8
	1730	80 21.7	16 57.7		6 1	79 16.6
	1756	80 13.7	16 46.0		615	79 14.7
	18 0	80 13.3	16 44.6		625	79 13.3
	1815	80 15.2	16 55.5		630	79 12.4
	1817	80 15.5	16 57.7		640	79 11.0
	1830	80 15.4	17 1.7		645	79 10.1
	1845	80 11.1	17 7.9		651	79 9.0
	1858	80 9.3	17 13.1		7 0	79 7.7
	19 4	80 3.2	17 16.0		715	79 5.2
	1915	80 0.5	17 19.3		723	79 3.3
	1934	80 3.4	17 28.6		730	79 2.7
	20 0	79 52.6	17 38.9		745	79 0.1

TIME	LATITUDE	LONGITUDE		TIME	LATITUDE	LONGITUDE
3 0	78 57.4	22 5.4		2253	79 11.4	24 2.6
815	78 55.5	21 57.3		2256	79 11.5	24 2.3
825	78 54.4	21 52.0		2310	79 11.3	24 5.1
830	78 53.6	21 49.1		2325	79 13.0	24 5.5
838	78 52.4	21 45.1		2330	79 13.6	24 5.4
845	78 51.6	21 42.2		2346	79 14.3	24 9.7
9 0	78 50.7	21 39.2		2358	79 15.5	24 7.4
9 1	78 50.4	21 39.1	<u>23/8</u>	0 2	79 15.9	24 7.3
916	78 52.2	21 43.2		016	79 15.3	24 6.3
919	78 52.7	21 50.7		020	79 15.9	24 6.3
930	78 52.3	21 51.7		028	79 15.3	24 7.3
945	78 52.9	21 53.3		039	79 15.8	24 3.1
10 0	78 55.3	22 1.2		041	79 15.3	24 3.3
10 3	78 55.3	22 3.7		051	79 16.1	24 10.6
10 9	78 56.4	22 5.3		1 0	79 16.3	24 11.4
1023	78 56.4	22 5.2		110	79 16.2	24 15.6
1026	78 56.5	22 5.5		130	79 17.3	24 24.3
1041	78 57.5	22 16.5		131	79 17.9	24 24.9
1049	78 58.3	22 20.3		138	79 18.2	24 26.5
11 0	79 0.4	22 25.2		2 4	79 18.2	24 23.0
11 4	79 0.9	22 26.6		217	79 18.2	24 31.3
1118	79 0.9	22 25.2		229	79 17.3	24 37.0
1143	79 2.5	22 38.1		230	79 17.2	24 37.4
1149	79 3.5	22 41.2		247	79 17.7	24 50.6
1158	79 4.5	22 44.6		254	79 18.2	24 54.5
12 1	79 4.9	22 45.8		3 0	79 18.6	24 59.0
12 9	79 5.1	22 45.3		3 9	79 19.0	25 2.5
1215	79 5.3	22 45.4		314	79 19.0	25 2.6
1235	79 6.3	22 50.2		317	79 19.0	25 2.7
1243	79 6.1	22 52.5		332	79 19.0	25 2.1
1246	79 8.2	22 52.2		335	79 18.7	25 2.4
1251	79 8.3	22 52.1		341	79 18.4	25 3.1
13 0	79 8.3	22 54.5		349	79 18.2	25 3.0
1314	79 9.7	23 1.5		353	79 18.0	25 4.2
1323	79 10.5	23 3.2		4 0	79 17.5	25 4.3
1334	79 10.9	23 2.7		427	79 16.9	25 4.9
1341	79 10.2	23 2.7		431	79 16.3	25 8.2
1353	79 11.8	23 6.9		438	79 16.4	25 7.5
1355	79 12.0	23 7.5		442	79 16.5	25 3.3
14 0	79 12.3	23 9.0		451	79 14.3	25 12.3
1419	79 12.7	23 7.7		5 2	79 14.7	25 14.5
1433	79 13.5	23 9.4		512	79 14.7	25 16.2
1445	79 13.2	23 9.7		526	79 12.4	25 21.9
1515	79 14.0	23 6.1		530	79 11.4	25 23.9
1520	79 15.3	23 8.5		540	79 9.3	25 26.0
1523	79 15.1	23 9.6		541	79 9.5	25 26.3
1530	79 12.5	23 14.1		557	79 9.0	25 26.6
1540	79 12.0	23 18.9		6 2	79 8.3	25 29.7
1553	79 11.2	23 30.9		615	79 9.2	25 37.0
16 0	79 11.1	23 33.8		623	79 5.2	25 40.5
1615	79 9.8	23 34.5		627	79 4.7	25 42.1
1620	79 9.2	23 34.6		646	79 4.7	25 43.2
1630	79 8.7	23 34.6		647	79 4.6	25 43.6
21 3	79 11.2	23 36.0		7 0	79 2.5	25 49.9
2131	79 10.6	23 36.3		715	79 0.1	25 53.0
2148	79 11.2	23 45.4		718	78 59.7	25 59.2
22 5	79 11.4	23 55.5		736	78 59.2	26 0.3
2221	79 11.4	23 59.0		745	78 57.3	26 5.6
2228	79 11.7	24 1.5		747	78 57.5	26 5.4
2230	79 11.3	24 2.3		8 0	78 55.9	26 11.3
2243	79 11.2	24 5.1		8 6	78 55.9	26 12.0

TIME	LATITUDE	LONGITUDE	TIME	LATITUDE	LONGITUDE
811	78 55.3	26 12.2	1051	79 29.5	25 51.5
828	78 53.3	26 19.5	1138	79 30.9	25 42.9
833	78 52.3	26 22.5	1157	79 31.3	25 43.5
835	78 52.0	26 23.5	1211	79 31.3	25 43.5
845	78 51.5	26 25.5	1247	79 32.2	25 43.5
9 6	78 53.4	26 44.7	1256	79 32.4	25 53.4
910	78 53.5	26 47.3	13 0	79 32.1	25 49.3
913	78 53.5	26 47.2	13 4	79 31.9	25 43.1
926	78 53.3	26 51.2	13 8	79 31.5	25 46.2
933	78 53.5	26 57.4	1315	79 31.7	25 42.5
940	78 53.3	27 3.6	1343	79 31.7	25 44.3
758	78 53.9	27 9.5	14 0	79 31.3	25 42.1
1010	78 54.5	27 22.7	14 1	79 32.0	25 41.9
1028	78 55.5	27 34.7	1410	79 32.7	25 42.2
1057	78 55.5	27 44.2	1419	79 34.2	25 44.2
11 1	78 55.7	27 45.9	1434	79 36.1	25 50.1
1110	78 55.1	27 54.7	1447	79 36.0	26 0.4
1113	78 56.0	27 56.5	1458	79 35.7	26 6.0
1119	78 56.0	27 56.4	1510	79 37.1	26 11.7
8 6	78 55.4	27 54.9	1525	79 33.2	26 16.1
918	78 55.3	27 51.7	1528	79 33.2	26 15.7
935	78 58.2	27 40.1	1540	79 33.3	26 16.7
940	78 58.4	27 38.7	1549	79 38.6	26 21.4
056	78 58.5	27 38.4	16 5	79 37.0	26 28.4
115	79 3.4	27 29.5	1617	79 35.5	26 36.6
145	79 3.5	27 16.1	1635	79 36.5	26 51.7
2 4	79 3.8	27 15.2	1636	79 36.6	26 52.7
221	79 5.2	27 8.8	1645	79 37.7	27 1.1
226	79 5.5	27 6.6	17 0	79 39.3	27 14.2
249	79 3.2	26 54.0	1714	79 41.1	27 25.8
3 2	79 3.1	26 54.3	1715	79 41.3	27 27.6
324	79 3.4	27 2.5	1730	79 43.2	27 40.0
330	79 9.1	27 1.1	1745	79 45.6	27 40.3
331	79 9.2	27 0.6	18 0	79 44.6	27 54.2
4 6	79 11.2	26 44.1	1815	79 45.3	28 6.9
430	79 13.4	26 30.4	1825	79 47.5	28 9.7
450	79 13.4	26 30.2	1830	79 48.3	28 11.8
459	79 13.4	26 30.2	19 0	79 52.4	28 25.5
517	79 15.3	26 19.3	1915	79 54.1	28 37.9
544	79 18.1	26 7.6	1923	79 54.7	28 44.9
557	79 18.2	26 7.6	1935	79 56.0	28 55.0
610	79 18.2	26 6.8	1943	79 56.7	29 0.2
631	79 20.0	25 58.7	20 6	79 53.9	29 13.3
650	79 22.3	25 47.6	2013	79 59.4	29 22.2
653	79 22.5	25 46.2	2016	79 59.7	29 25.0
658	79 22.3	25 43.3	2030	80 1.4	29 35.4
742	79 23.5	25 40.0	2045	80 3.0	29 47.3
744	79 23.5	25 39.6	2048	80 3.6	29 50.3
8 3	79 23.5	25 40.5	2059	80 4.5	29 52.5
8 8	79 23.3	25 38.9	21 8	80 4.7	30 0.3
815	79 24.3	25 37.0	2124	80 4.7	30 1.2
825	79 24.4	25 36.3	941	80 1.2	29 57.5
840	79 24.5	25 37.0	1011	80 0.7	30 0.4
843	79 24.4	25 38.1	1019	80 0.7	30 1.6
915	79 25.5	25 44.0	1036	79 53.9	30 11.9
928	79 26.5	25 46.0	1054	79 56.7	30 10.8
729	79 26.5	25 46.1	11 5	79 55.1	30 2.0
945	79 28.1	25 49.0	1116	79 54.2	30 3.2
956	79 29.0	25 50.3	1126	79 52.7	30 3.1
1011	79 22.4	25 50.3	1130	79 52.2	30 4.0
1017	79 22.7	25 51.3	1144	79 50.3	30 7.0

TIME	LATITUDE	LONGITUDE		TIME	LATITUDE	LONGITUDE
12 0	79 42.2	30 17.6		2330	79 17.1	35 51.7
12 0	79 42.2	30 18.7		2345	79 16.0	35 54.2
1215	79 43.9	30 27.5	<u>26/8</u>	0 0	79 13.6	36 4.5
1230	79 50.3	30 36.0		015	79 12.4	36 12.1
1245	79 50.0	30 47.3		030	79 10.9	36 12.5
13 2	79 43.2	30 49.2		045	79 2.1	36 21.3
1313	79 47.4	30 52.0		1 0	79 3.9	36 30.9
1315	79 47.2	30 53.2		115	79 8.9	36 42.5
1330	79 45.3	30 46.5		130	79 2.1	36 43.9
1345	79 45.5	30 40.1		145	79 3.3	36 52.3
14 0	79 43.7	30 49.6		215	79 6.1	37 1.0
1415	79 42.5	31 4.4		227	79 4.8	37 8.3
1429	79 41.7	31 12.4		230	79 4.5	37 10.0
1439	79 41.3	31 19.8		245	79 4.0	37 21.5
1448	79 41.0	31 23.9		3 0	79 5.1	37 33.0
15 3	79 40.5	31 24.8		3 2	79 5.3	37 36.1
1515	79 40.6	31 19.1		312	79 6.3	37 41.5
1530	79 41.3	31 13.7		315	79 7.3	37 43.3
1538	79 41.5	31 7.2		330	79 9.4	37 52.4
1545	79 41.6	31 3.3		345	79 10.1	38 5.0
16 0	79 41.4	30 55.4		4 0	79 10.4	38 18.4
1615	79 40.1	30 43.4		415	79 10.7	38 31.7
1625	79 33.6	30 52.8		430	79 11.0	38 44.5
1638	79 37.7	31 1.1		444	79 12.9	38 53.8
1645	79 37.0	31 7.9		445	79 13.0	38 54.6
1648	79 36.6	31 9.8		5 0	79 13.9	39 8.6
17 1	79 35.0	31 13.7		519	79 15.5	39 25.3
1726	79 34.4	31 41.4		537	79 16.3	39 33.5
1730	79 34.1	31 45.3		545	79 16.8	39 46.0
1746	79 33.5	31 59.3		558	79 17.2	39 57.3
18 0	79 31.2	32 5.6		6 0	79 17.3	39 59.1
1814	79 29.2	32 13.2		615	79 17.0	40 13.1
1817	79 23.5	32 15.3		628	79 17.1	40 25.1
1830	79 26.3	32 19.5		630	79 17.2	40 27.1
1833	79 26.5	32 16.0		645	79 15.5	40 37.8
1845	79 25.8	32 14.4		7 0	79 14.9	40 52.1
19 0	79 24.2	32 30.2		7 5	79 14.7	40 53.0
1913	79 22.5	32 44.2		715	79 14.2	41 6.5
1916	79 22.0	32 46.2		730	79 13.2	41 18.2
1930	79 22.5	32 53.2		743	79 12.9	41 21.7
1945	79 23.3	33 11.2		745	79 12.3	41 22.3
20 0	79 23.3	33 23.2		757	79 12.5	41 21.1
2015	79 22.7	33 36.6		758	79 12.5	41 20.2
2021	79 22.5	33 40.9		816	79 12.4	41 3.9
2030	79 22.1	33 46.5		832	79 12.3	40 50.6
2045	79 20.4	33 58.0		834	79 12.3	40 48.6
21 0	79 13.0	34 6.4		850	79 12.7	40 32.1
21 0	79 17.9	34 4.8		851	79 12.7	40 31.0
2115	79 16.2	34 13.7		9 9	79 12.9	40 16.3
2130	79 18.5	34 18.5		914	79 12.9	40 14.5
2145	79 19.1	34 34.6		925	79 12.9	40 14.4
22 0	79 19.2	34 52.3		929	79 12.4	40 12.2
2211	79 19.3	35 2.9		940	79 11.7	40 1.3
2215	79 19.3	35 5.5		947	79 12.1	39 52.5
2232	79 21.2	35 17.4		10 0	79 12.0	39 42.4
2245	79 21.5	35 23.1		1013	79 12.0	39 29.9
2247	79 21.5	35 30.6		1030	79 12.0	39 15.3
2248	79 21.4	35 31.1		1036	79 11.9	39 11.3
23 0	79 20.2	35 37.9		1039	79 11.9	39 7.9
2315	79 20.3	35 46.3		1054	79 11.0	39 7.2
2330	79 17.3	35 51.5		11 0	79 11.3	39 4.5

TIME	LATITUDE	LONGITUDE	TIME	LATITUDE	LONGITUDE
1116	79 10.5	38 50.0	2230	78 51.7	32 52.5
1131	79 7.5	38 35.4	2245	78 52.3	32 40.3
1138	79 9.3	38 30.2	23 0	78 53.7	32 26.5
1147	79 8.3	38 23.2	23 6	78 54.1	32 23.5
12 0	79 8.7	38 11.8	23 9	78 54.0	32 23.3
12 3	79 8.6	38 9.0	2329	78 53.9	32 22.4
12 5	79 8.5	38 6.9	2345	78 54.9	32 10.9
1223	79 8.7	38 7.2	2349	78 55.3	32 7.3
1230	79 3.6	38 7.0	0 0	78 56.0	31 57.5
1245	79 7.9	38 0.3	0 8	78 56.7	31 49.0
13 0	79 6.3	37 49.3	015	78 57.0	31 44.1
1315	79 4.8	37 32.7	030	78 57.9	31 31.3
1330	79 3.5	37 23.1	032	78 58.0	31 29.6
1331	79 3.5	37 26.3	040	78 58.5	31 25.8
1345	79 3.1	37 12.0	057	78 58.4	31 25.8
1348	79 2.9	37 10.0	1 2	78 58.1	31 24.5
1349	79 2.2	37 2.5	130	79 0.1	31 7.5
14 5	79 2.7	37 8.5	135	79 0.2	31 3.0
1416	79 2.3	37 0.2	145	79 0.4	30 56.2
1430	79 3.1	36 47.3	2 4	79 0.5	30 54.0
1446	79 3.5	36 34.5	215	79 1.5	30 54.0
1450	79 3.5	36 31.8	221	79 2.2	30 55.1
15 0	79 3.5	36 25.6	230	79 3.2	30 55.9
1515	79 3.6	36 15.2	249	79 5.9	30 55.9
1515	79 3.6	36 14.7	3 0	79 6.5	30 54.7
1530	79 3.6	36 6.2	315	79 6.7	30 53.3
1533	79 3.3	36 4.1	320	79 7.1	30 56.5
1534	79 3.3	36 4.1	330	79 7.3	31 0.4
1615	79 0.5	35 55.9	336	79 8.5	31 1.6
1630	79 0.2	35 53.2	345	79 9.2	31 2.5
1640	79 0.1	36 0.4	354	79 10.1	31 1.3
1645	78 59.3	36 0.3	4 0	79 10.9	31 0.5
17 2	78 56.2	36 1.5	410	79 12.4	30 59.3
1715	78 57.3	36 5.4	411	79 12.5	30 59.4
1719	78 56.2	36 1.7	419	79 12.5	30 59.6
1731	78 55.2	35 53.0	430	79 14.3	30 59.7
1744	78 52.7	35 54.7	430	79 14.5	30 59.7
1747	78 52.4	35 53.6	445	79 17.2	30 59.3
18 0	78 50.7	35 50.1	453	79 18.2	30 59.1
1814	78 49.8	35 33.5	5 5	79 18.3	30 58.6
1828	78 49.1	35 20.2	512	79 18.4	30 57.4
1833	78 48.4	35 18.2	520	79 19.9	30 56.7
1844	78 48.3	35 12.3	532	79 22.1	30 53.3
1847	78 48.0	35 10.6	544	79 23.9	30 51.1
1850	78 47.9	35 8.9	548	79 24.7	30 51.4
19 0	78 48.2	35 0.4	616	79 24.9	30 50.7
19 8	78 43.5	34 52.5	631	79 26.6	30 56.6
1927	78 43.7	34 36.3	645	79 29.3	30 43.4
1931	78 43.6	34 36.5	651	79 30.4	30 47.8
20 6	78 43.2	34 37.4	657	79 31.2	30 48.3
2015	78 43.6	34 29.3	7 5	79 31.2	30 47.4
2036	78 43.5	34 11.3	7 9	79 31.2	30 48.0
2039	78 43.3	34 9.4	716	79 31.9	30 46.8
2056	78 47.2	33 52.3	730	79 34.5	30 49.9
2059	78 47.2	33 49.3	748	79 37.3	30 49.6
2118	78 43.7	33 34.1	757	79 38.0	30 50.8
2120	78 43.9	33 32.4	8 2	79 39.1	30 50.7
2130	78 49.4	33 24.3	819	79 42.5	31 49.0
2138	78 49.3	33 13.3	830	79 44.2	30 55.3
22 4	78 50.1	33 12.1	838	79 45.3	31 0.6
2215	78 50.7	33 4.1	845	79 46.7	31 2.9

27/8

TIME	LATITUDE	LONGITUDE	TIME	LATITUDE	LONGITUDE
9 4	79 43.4	31 6.3	2238	80 12.0	28 1.2
911	79 43.1	31 5.3	2255	80 11.3	28 3.3
925	79 43.7	30 53.6	23 0	80 11.3	28 8.3
926	79 43.3	30 52.9	2325	80 10.0	28 24.1
931	79 42.2	30 43.3	2341	80 3.7	28 34.9
946	79 50.7	30 37.7	2342	80 8.6	28 35.5
948	79 50.2	30 36.9	2355	80 7.6	28 43.4
10 2	79 52.9	30 33.3	010	80 7.6	28 57.3
10 5	79 53.5	30 34.9	019	80 6.3	29 5.3
1018	79 53.2	30 38.0	032	80 5.3	29 18.0
1033	79 55.6	30 43.5	045	80 6.3	29 30.3
1035	79 56.0	30 44.3	048	80 6.3	29 34.0
1045	79 57.5	30 46.3	1 0	80 5.4	29 44.3
11 1	79 60.0	30 41.6	115	80 3.7	29 56.4
1115	80 2.0	30 37.7	130	80 1.5	30 4.0
1133	80 3.7	30 42.0	130	80 1.3	30 4.2
1139	80 4.1	30 42.5	145	79 58.9	30 3.7
1155	80 5.8	30 40.0	2 0	79 56.7	30 1.3
1223	80 6.4	30 56.8	215	79 54.7	29 53.1
1230	80 7.1	31 2.0	230	79 54.0	29 40.4
1247	80 6.0	31 3.0	245	79 53.5	29 28.1
13 4	80 5.3	31 17.0	3 0	79 52.9	29 15.3
1455	80 5.5	31 15.7	315	79 51.7	29 4.1
15 3	80 5.6	31 12.8	318	79 51.5	29 1.6
1517	80 5.3	31 1.0	330	79 50.0	28 52.1
1531	80 5.9	30 48.0	330	79 49.9	28 51.2
1557	80 5.0	30 41.2	345	79 48.4	28 46.6
16 9	80 6.0	30 23.8	4 0	79 46.0	28 45.5
1624	80 6.0	30 14.1	413	79 45.2	28 41.9
1631	80 6.0	30 6.4	415	79 45.0	28 39.7
1654	80 6.1	30 5.0	430	79 47.4	28 45.7
1658	80 5.2	30 5.3	445	79 49.0	28 59.2
17 9	80 6.4	29 56.5	5 0	79 49.4	29 14.1
1719	80 6.4	29 46.2	515	79 47.3	29 25.1
1731	80 5.7	29 36.6	520	79 46.3	29 25.5
1812	80 5.3	29 34.8	530	79 44.7	29 26.3
1829	80 4.7	29 22.9	545	79 42.3	29 22.4
1842	80 3.6	29 11.0	6 0	79 40.3	29 11.1
1847	80 3.2	29 6.3	615	79 39.6	28 59.1
19 1	80 3.2	28 57.3	630	79 37.3	28 54.2
1921	80 3.6	28 55.7	643	79 35.3	28 48.6
1927	80 3.7	28 56.3	7 1	79 33.1	28 42.0
1945	80 2.5	28 49.3	711	79 31.3	28 38.7
1955	80 3.3	28 42.6	730	79 28.9	28 32.5
20 0	80 4.2	28 37.4	743	79 27.1	28 27.3
20 6	80 4.4	28 36.4	745	79 26.9	28 26.4
2021	80 4.3	28 34.9	8 0	79 25.0	28 20.3
2030	80 5.3	28 30.7	815	79 22.8	28 13.3
2045	80 7.1	28 34.5	830	79 20.2	28 7.2
21 0	80 3.8	28 25.0	845	79 19.0	28 0.8
2110	80 10.3	28 17.1	9 0	79 16.3	27 54.9
2115	80 10.2	28 14.9	915	79 14.6	27 48.3
2130	80 10.9	28 5.9	926	79 12.9	27 44.1
2140	80 10.3	28 2.2	930	79 12.2	27 42.1
2145	80 10.3	28 0.7	945	79 10.2	27 36.9
2154	80 10.9	27 53.5	10 0	79 8.0	27 30.3
22 0	80 11.1	27 56.3	1021	79 5.1	27 22.0
2212	80 11.1	27 55.4	1027	79 4.5	27 19.6
2217	80 11.2	27 53.7	1045	79 2.5	27 9.1
2223	80 11.3	28 1.3	1057	79 1.4	27 1.4
2230	80 12.2	27 60.0	1114	78 6.0	26 49.3

28/8

TIME	LATITUDE	LONGITUDE	TIME	LATITUDE	LONGITUDE
1115	78 59.2	26 49.2	2141	78 46.1	23 39.9
1130	78 58.7	26 49.6	2145	78 46.3	23 40.1
1146	78 57.1	26 22.5	2200	78 49.3	23 41.2
1200	78 56.0	26 22.0	2214	78 51.4	23 42.1
1215	78 54.7	26 12.1	2221	78 51.5	23 41.6
1230	78 52.3	26 3.2	2230	78 52.3	23 41.3
1247	78 49.9	26 4.0	2244	78 54.5	23 42.7
1300	78 48.2	26 3.1	2251	78 55.7	23 43.3
1312	78 46.4	26 1.0	2314	78 59.2	23 45.2
1325	78 44.2	26 0.7	2315	78 59.5	23 45.4
1334	78 44.1	26 0.3	2329	79 1.6	23 47.2
1345	78 43.2	26 0.7	2336	79 2.9	23 48.6
1358	78 41.9	25 52.8	2344	79 3.9	23 49.6
1400	78 41.7	25 51.6	2359	79 4.2	23 49.3
1415	78 40.3	25 42.2	012	79 5.3	23 50.1
1421	78 39.8	25 39.1	023	79 6.8	23 51.1
1434	78 39.3	25 39.1	035	79 8.7	23 52.7
1445	78 39.1	25 32.7	041	79 8.7	23 52.9
1446	78 38.9	25 31.2	054	79 8.8	23 53.5
1500	78 37.7	25 22.0	114	79 11.2	23 55.7
1515	78 36.5	25 11.2	138	79 11.2	23 55.9
1530	78 34.3	25 2.4	229	79 11.2	23 54.6
1536	78 34.4	25 1.0	230	79 11.2	23 52.6
1556	78 34.3	25 1.7	259	79 12.0	23 40.7
1615	78 32.4	24 53.1	318	79 11.3	23 33.4
1618	78 32.1	24 51.4	323	79 11.3	23 29.1
1630	78 30.5	24 42.3	416	79 11.7	23 26.6
1633	78 30.2	24 40.1	440	79 11.7	23 25.2
1645	78 29.0	24 33.4	446	79 11.2	23 23.7
1700	78 27.3	24 24.4	449	79 11.2	23 23.7
1721	78 27.1	24 24.2	59	79 11.3	23 22.6
1730	78 26.2	24 19.6	532	79 11.1	23 22.0
1745	78 24.5	24 11.0	542	79 12.5	23 16.0
1750	78 23.9	24 7.3	559	79 14.6	23 2.2
181	78 22.5	24 1.6	611	79 14.6	22 49.1
186	78 21.9	23 58.3	616	79 14.5	22 43.9
1815	78 21.0	23 53.5	625	79 14.2	22 35.7
1820	78 20.4	23 50.1	630	79 13.3	22 29.2
1829	78 20.4	23 49.7	640	79 13.6	22 22.0
1836	78 20.4	23 43.3	645	79 13.1	22 16.0
1849	78 22.5	23 43.3	646	79 13.0	22 14.0
194	78 25.5	23 48.5	658	79 12.7	22 3.0
1919	78 28.0	23 48.3	70	79 12.6	22 3.2
1934	78 30.8	23 47.6	715	79 12.1	21 45.4
1939	78 31.5	23 47.6	731	79 11.5	21 29.6
1941	78 31.7	23 47.5	745	79 13.0	21 13.6
1948	78 31.5	23 40.0	759	79 14.5	21 3.0
1954	78 30.3	23 35.9	811	79 15.6	20 52.6
1959	78 30.9	23 33.3	815	79 15.9	20 56.8
203	78 31.4	23 31.7	829	79 17.4	20 46.0
2012	78 33.2	23 35.3	838	79 18.3	20 39.2
2016	78 33.6	23 37.0	851	79 19.3	20 29.4
2023	78 34.0	23 37.4	95	79 21.5	20 21.6
2030	78 35.3	23 37.5	915	79 22.3	20 16.5
2036	78 36.4	23 37.7	925	79 24.2	20 10.9
2048	78 36.8	23 37.5	928	79 24.6	20 7.6
210	78 33.8	23 37.3	938	79 25.1	20 7.4
213	78 39.5	23 38.2	944	79 25.6	20 4.0
2115	78 41.7	23 38.7	957	79 27.4	19 53.5
2128	78 43.3	23 39.3	110	79 27.9	19 51.1
			29/8		

TIME	LATITUDE	LONGITUDE	TIME	LATITUDE	LONGITUDE
1012	79 29.5	19 45.2	2030	80 32.7	17 51.7
1028	79 32.4	19 35.3	2036	80 32.3	17 53.5
1030	79 32.2	19 33.5	21 0	80 33.2	18 23.4
1045	79 34.3	19 25.7	2112	80 33.4	18 36.4
11 0	79 36.3	19 16.2	2114	80 33.4	18 38.7
1115	79 37.5	19 0.3	2139	80 32.9	19 5.5
1120	79 37.3	18 55.3	2159	80 33.4	19 24.1
1124	79 37.3	18 54.5	22 1	80 33.4	19 27.1
1142	79 37.7	18 54.6	2211	80 33.2	19 36.1
1145	79 37.3	18 53.9	2241	80 33.3	20 5.9
1210	79 39.4	18 30.2	23 1	80 34.0	20 21.0
1217	79 40.5	18 25.6	23 6	80 34.3	20 25.7
1224	79 41.5	18 22.1	2321	80 34.9	20 36.7
1233	79 41.3	18 15.1	2331	80 34.9	20 40.8
1240	79 42.7	18 11.3	30/8		
1246	79 43.2	18 5.9	9 4	80 41.7	20 33.1
13 0	79 45.1	18 3.2	9 6	80 41.9	20 30.6
13 2	79 45.5	18 3.0	918	80 42.5	20 20.7
13 9	79 46.6	18 3.7	930	80 42.7	20 9.9
1311	79 46.9	18 3.7	933	80 43.0	20 6.0
1328	79 47.1	18 1.3	944	80 43.6	19 52.6
1333	79 47.2	18 0.9	958	80 44.0	19 38.9
1345	79 49.1	17 55.7	10 4	80 44.4	19 31.3
14 0	79 51.4	17 49.3	1015	80 45.3	19 23.3
1415	79 53.9	17 43.6	1032	80 46.8	19 7.4
1430	79 56.1	17 33.8	1033	80 46.9	19 6.6
1445	79 58.5	17 33.4	1049	80 47.9	18 52.6
1455	80 0.1	17 30.3	1053	80 48.1	18 49.7
15 5	80 1.7	17 27.6	11 4	80 48.9	18 38.3
1525	80 2.2	17 26.2	1119	80 49.8	18 25.1
1526	80 2.2	17 26.0	1134	80 50.7	18 10.5
1530	80 2.7	17 23.2	1149	80 51.6	17 56.4
1535	80 3.9	17 21.0	1155	80 51.9	17 51.8
1541	80 4.7	17 21.0	12 4	80 52.6	17 42.7
1547	80 5.3	17 20.7	1219	80 53.7	17 29.1
1549	80 6.1	17 20.6	1239	80 55.7	17 12.0
16 4	80 6.5	17 25.8	1251	80 56.3	16 58.5
1615	80 7.3	17 27.6	1258	80 55.7	16 53.3
1624	80 8.7	17 31.1	13 6	80 54.9	16 41.4
1658	80 9.0	17 32.7	1330	80 53.6	16 13.2
17 2	80 8.5	17 29.5	1351	80 55.7	15 51.0
1711	80 8.5	17 21.9	1418	80 58.3	15 35.9
1715	80 8.6	17 18.3	1425	80 58.0	15 25.3
1723	80 9.0	17 11.4	1430	80 57.9	15 19.9
1730	80 10.3	17 8.9	1445	80 58.3	15 9.9
1735	80 11.5	17 6.8	1455	80 53.9	15 10.4
1745	80 13.0	17 2.3	1457	80 58.9	15 9.7
18 2	80 16.0	16 53.3	1514	80 53.3	15 7.3
1815	80 13.0	16 47.2	1530	80 58.6	15 0.4
1829	80 20.4	16 40.2	1532	80 58.5	14 59.7
1844	80 22.6	16 31.5	1546	80 58.4	14 53.4
1848	80 23.4	16 28.3	1551	80 53.5	14 50.3
1851	80 23.9	16 26.6	16 0	80 53.4	14 47.7
1858	80 24.9	16 23.4	2323	80 58.3	14 33.2
1918	80 27.9	16 44.7	2326	80 58.3	14 32.4
1924	80 28.6	16 43.3	2346	80 54.7	14 27.4
1933	80 30.1	16 56.5	2353	80 53.5	14 26.7
1945	80 31.3	17 5.1	31/8		
20 0	80 32.1	17 20.7	016	80 47.4	14 32.2
2014	80 32.4	17 35.6	031	80 40.5	14 35.1
2015	80 32.4	17 35.5	032	80 46.3	14 34.7
			045	80 44.4	14 33.7
			1 1	80 42.3	14 26.5

TIME	LATITUDE	LONGITUDE	TIME	LATITUDE	LONGITUDE
111	80 40.6	14 30.0	14 1	79 53.6	12 36.0
115	80 32.9	14 30.4	1414	79 53.4	12 25.4
125	80 33.4	14 30.3	1435	79 52.3	12 5.6
140	80 36.0	14 31.0	1445	79 51.7	12 0.7
143	80 35.5	14 30.9	1453	79 50.3	12 0.2
158	80 32.9	14 30.9	1511	79 47.1	12 0.1
215	80 29.6	14 30.3	1530	79 44.9	12 5.6
230	80 27.4	14 28.2	1548	79 44.1	12 10.9
245	80 24.8	14 26.2	1616	79 44.0	12 12.5
30	80 22.3	14 23.9	1619	79 44.3	12 11.5
315	80 19.3	14 21.7	1634	79 46.7	12 2.3
326	80 18.0	14 20.1	1640	79 47.7	12 1.4
330	80 17.1	14 19.2	1645	79 48.6	11 59.6
40	80 12.3	14 13.7	170	79 50.6	11 54.9
411	80 10.6	14 11.1	1710	79 52.1	11 51.5
439	80 5.8	14 7.8	1733	79 52.7	11 27.2
510	80 0.4	14 3.3	1738	79 52.1	11 25.5
511	80 0.3	14 3.9	1750	79 50.5	11 19.3
530	79 56.8	14 4.2	184	79 48.6	11 13.3
545	79 53.8	14 4.5	1820	79 48.7	10 56.6
60	79 51.0	14 6.4	1827	79 49.1	10 50.4
615	79 48.5	14 5.0	1829	79 49.0	10 43.8
630	79 45.9	14 3.5	1926	79 47.3	10 26.4
631	79 45.5	14 2.6	2013	79 47.0	10 21.2
645	79 43.3	13 59.6	2033	79 47.5	10 26.3
656	79 41.5	13 57.1	2114	79 47.4	10 24.3
70	79 40.7	13 55.5	2210	79 47.5	10 22.2
715	79 39.5	13 43.8	2344	79 47.2	10 25.3
730	79 38.5	13 31.5	010	79 40.3	10 25.2
735	79 38.1	13 26.5	129	79 38.5	10 14.3
749	79 38.1	13 13.7	145	79 35.4	10 15.9
757	79 38.2	13 7.8	347	79 22.1	10 29.3
811	79 36.9	12 56.9	419	79 17.7	10 30.0
816	79 36.4	12 51.8	458	79 12.3	10 35.4
818	79 36.4	12 50.5	538	79 6.9	10 52.3
829	79 36.3	12 43.7	64	79 3.9	11 11.8
842	79 36.4	12 41.9	642	78 59.6	11 40.2
942	79 36.6	12 42.9	728	78 56.2	11 55.9
103	79 36.5	12 54.0	749	78 55.9	11 55.1
108	79 36.6	12 53.5	826	78 56.5	11 57.4
1015	79 37.5	12 59.7	857	78 56.5	12 1.0
1023	79 38.5	13 7.4	935	78 57.2	11 59.3
1039	79 38.6	13 22.8	1043	78 56.3	12 9.2
1045	79 38.6	13 30.2	110	78 56.3	12 9.0
110	79 40.2	13 42.4	1158	78 54.9	12 8.0
1115	79 41.7	13 55.8	1228	78 55.9	11 55.0
1119	79 42.7	13 57.3	1245	78 56.0	11 54.1
1130	79 44.5	14 1.1	139	78 55.3	11 56.0
1149	79 47.5	14 5.2	1344	78 55.3	11 55.4
1151	79 47.9	14 6.7	1414	78 55.3	11 55.1
1158	79 48.3	14 7.9	1431	78 55.3	11 54.6
1215	79 51.6	14 4.4	1530	78 55.3	11 55.6
1230	79 53.3	13 56.9	1559	78 55.3	11 54.7
1242	79 55.3	13 51.6	1635	78 55.3	11 55.3
131	79 55.4	13 29.7	1717	78 55.7	11 55.3
135	79 55.3	13 25.2	1745	78 55.3	11 54.2
1315	79 55.1	13 15.3	185	78 55.3	11 56.0
1330	79 54.9	13 2.1	1824	78 56.1	11 54.3
1334	79 54.3	12 57.5	194	78 55.3	11 55.5
1345	79 54.3	12 49.8	1954	78 53.5	11 43.7
140	79 53.7	12 37.7	2012	78 59.7	11 31.0

1/9

2/9

TIME	LATITUDE	LONGITUDE
2050	78 63.0	11 7.5
2143	78 56.4	10 26.0
2159	78 54.3	10 17.4
2346	78 39.3	10 21.5
0021	78 34.0	10 25.7
056	78 29.3	10 31.7
119	78 25.5	10 35.7
2 5	78 19.2	11 0.3
245	78 15.7	11 17.6
324	78 11.3	11 34.4
349	78 8.1	11 44.9
432	78 6.5	12 11.9
533	78 7.3	13 1.6
641	78 10.2	13 56.3
658	78 11.2	14 10.5
717	78 13.0	14 31.0
8 6	78 16.5	15 21.9
826	78 14.2	15 36.0
943	78 13.6	15 37.2

**VEDLEGG 3**

Dybdedata, tokt II

Alle klokkeslett i GMT.









time	depth																
53	175	645	190	553	172	780	173	710	193	713	209	715	187	721	96		
73	122	734	102	735	209	743	183	750	159	755	120	300	122	503	146		
80	141	812	209	310	107	312	156	321	97	325	107	330	71	336	49		
84	58	910	58	910	73	930	64	950	54	953	112	1000	93	1002	151		
100	136	1007	213	1010	151	1015	149	1020	91	1025	149	1032	130	1037	127		
103	9	1039	163	1045	108	1047	120	1050	127	1055	93	1110	138	1102	199	1115	175
113	0	1130	158	1145	112	1150	117	1200	147	1207	159	1213	112	1220	131	1228	58
123	1	1231	93	1235	151	1241	140	1245	150	1247	73	1250	54	1254	100	1300	107
130	5	1305	125	1309	116	1310	125	1315	93	1320	170	1325	127	1330	107	1335	122
134	0	1340	96	1345	57	1350	25	1355	50	1400	34	1402	39	1406	25	1415	30
142	3	1423	52	1430	28	1430	25	1442	20	1444	107	1445	49	1448	127	1450	97
145	2	1452	122	1455	170	1500	127	1501	73	1505	107	1506	33	1508	133	1509	98
151	1	1511	158	1512	172	1518	146	1523	26	1525	47	1526	31	1530	15	1536	21
154	0	1540	15	1545	15	1522	52	1525	67	1632	151	1635	117	1638	173	1640	100
164	3	1643	141	1645	204	1650	108	1655	28	1700	93	1705	158	1710	141	1715	21
172	0	1720	19	1725	39	1729	56	1735	15	1737	47	1740	22	1745	49	1747	34
175	5	1750	25	1755	34	1757	44	1800	30	1805	156	1808	170	1812	163	1814	175
181	9	1819	57	1820	71	1825	53	1827	59	1829	34						

